

Iztok
BRINOVAR

Dalibor
IGREC

Tehnološko modeliranje energetskih procesov

Zbirka
laboratorijskih
vaj



Univerzitetna založba
Univerze v Mariboru



Univerza v Mariboru

Fakulteta za energetiko

Tehnološko modeliranje energetskega procesov

Zbirka laboratorijskih vaj

Avtorja

Iztok Brinovar

Dalibor Igrec

April 2022

Naslov <i>Title</i>	Tehnološko modeliranje energetskega procesov <i>Technological Modelling of Power Processes</i>		
Podnaslov <i>Subtitle</i>	Zbirka laboratorijskih vaj <i>Collection of Laboratory Exercises</i>		
Avtorja <i>Authors</i>	Iztok Brinovar (Univerza v Mariboru, Fakulteta za energetiko)		
	Dalibor Igrec (Univerza v Mariboru, Fakulteta za energetiko)		
Jezikovni pregled <i>Language editing</i>	Slavica Božič		
Tehnični urednik <i>Technical editor</i>	Jan Perša (Univerza v Mariboru, Univerzitetna založba)		
Oblikovanje ovitka <i>Cover designer</i>	Jan Perša (Univerza v Mariboru, Univerzitetna založba)		
Grafične priloge <i>Graphic material</i>	Avtorja	Grafika na ovitku <i>Cover graphics</i>	power-4892237, Pixabay.com, CC0, 2022
Založnik <i>Published by</i>	Univerza v Mariboru, Univerzitetna založba Slomškov trg 15, 2000 Maribor, Slovenija https://press.um.si , zalozba@um.si		
Izdajatelj <i>Issued by</i>	Univerza v Mariboru, Fakulteta za energetiko Hočevarjev trg 1, 8270 Krško, Slovenija https://www.fe.um.si , fe@um.si		

Izdaja <i>Edition</i>	Prva izdaja	Izdano <i>Published at</i>	Maribor, april 2022
Vrsta publikacije <i>Publication type</i>	E-knjiga	Dostopno na <i>Available at</i>	https://press.um.si/index.php/ump/catalog/book/14

CIP - Kataložni zapis o publikaciji
Univerzitetna knjižnica Maribor

620.9:519.876.2 (076.5) (0.034.2)

BRINOVAR, Iztok
Tehnološko modeliranje energetskega procesov
[Elektronski vir] : zbirka laboratorijskih vaj /
avtorja Iztok Brinovar, Dalibor Igrec. - 1. izd.
- E-knjiga. - Maribor : Univerza v Mariboru,
Univerzitetna založba, 2022

Način dostopa (URL):
<https://press.um.si/index.php/ump/catalog/book/14>
ISBN 978-961-286-555-9 (PDF)
doi: 10.18690/um.fe.2.2022
COBISS.SI-ID 104319747



© Univerza v Mariboru, Univerzitetna
založba
/ University of Maribor, University Press

Besedilo / *Text* © Brinovar in Igrec, 2022

To delo je objavljeno pod licenco Creative Commons
Priznanje avtorstva 4.0 Mednarodna. / *This work is licensed under
the Creative Commons Attribution 4.0 International License.*

Uporabnikom je dovoljeno tako nekomercialno kot tudi
komercialno reproduciranje, distribuiranje, dajanje v najem,
javna priobčitev in predelava avtorskega dela, pod pogojem, da
navedejo avtorja izvirnega dela.

Vsa gradiva tretjih oseb v tej knjigi so objavljena pod licenco
Creative Commons, razen če to ni navedeno drugače. Če želite
ponovno uporabiti gradivo tretjih oseb, ki ni zajeto v licenci
Creative Commons, boste morali pridobiti dovoljenje
neposredno od imetnika avtorskih pravic.

<https://creativecommons.org/licenses/by/4.0/>

ISBN 978-961-286-555-9 (pdf)

DOI <https://doi.org/10.18690/um.fe.2.2022>

Cena
Price Brezplačni izvod

Odgovorna oseba založnika
For publisher prof. dr. Zdravko Kačič,
rektor Univerze v Mariboru

Citiranje
Attribution Brinovar, I. in Igrec, D. (2022). *Tehnološko modeliranje energetskega procesov: zbirka laboratorijskih vaj*. Maribor: Univerzitetna založba. doi: 10.18690/um.fe.2.2022

Kazalo

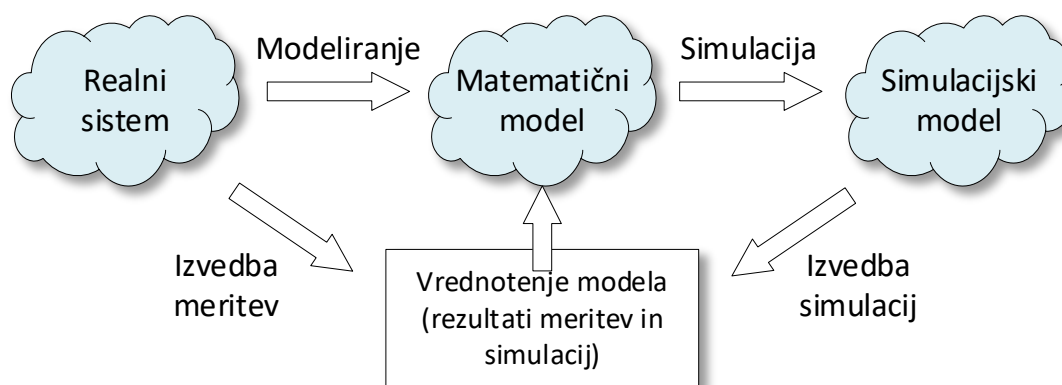
Teoretične osnove.....	1
Modeliranje, izvedba simulacij in meritev	1
Simulacijska shema (blokovni diagram).....	2
Hidravlični sistem – shranjevalniki tekočin.....	7
1.1 Opis vaje.....	9
1.2 Besedilo naloge.....	10
1.3 Rezultati.....	12
1.4 Komentar	19
RC vezje (polnjenje in praznjenje kondenzatorja)	21
2.1 Vezalna shema	23
2.2 Besedilo naloge.....	23
2.3 Opis vaje.....	23
2.4 Seznam merilnih instrumentov in naprav	26
2.4 Rezultati.....	26
2.4 Komentar	34
Enostavna dušilka	39
3.1 Opis vaje.....	41
3.2 Besedilo naloge.....	45
3.3 Rezultati – 1. del vaje.....	48
3.4 Rezultati – 2. del vaje.....	52
3.5 Komentar	55
Ekspperimentalna določitev parametrov mehanskega podsistema električnega stroja	60
4.1 Opis vaje in merilnih metod	62
4.2 Besedilo naloge.....	65
4.3 Rezultati.....	67
4.5 Komentar	76
Literatura	79

Teoretične osnove

Modeliranje, izvedba simulacij in meritev [1]

Modeliranje in simulacija sta dva neločljiva postopka, ki vsebujeta kompleksne aktivnosti v zvezi s konstrukcijo modelov in eksperimentiranje z modeli v smislu pridobivanja podatkov o obnašanju modeliranega procesa.

Pri tem je modeliranje vezano predvsem na relacije med realnim procesom in njegovimi modeli, simulacija pa se ukvarja s povezavo med matematičnim in simulacijskim modelom (računalniškim programom) – slika 1. S slednjim je mogoče zelo fleksibilno eksperimentirati. Pridobljene časovne odzive izmerjenih in simulacijskih rezultatov vsaj v začetni fazi uporabljamo zlasti za vrednotenje modela.



Slika 1: Modeliranje, izvedba simulacij in meritev.

Konvencionalni zapis matematičnih modelov temelji na diferencialno-algebrskih enačbah. V procesu modeliranja pridemo običajno do nelinearnih sistemov, ki jih največkrat rešujemo z numerično simulacijo. Izhajamo iz enačb, v katerih upoštevamo fizikalne zakone (enačbe masnega in energijskega ravnotežja, enačbe ravnotežja sil in gibalnih količin, Kirchofovi zakoni ...). Pomembno je tudi, da pravilno izberemo vhode in izhode sistema, t.j. kaj so vplivne veličine in kaj želimo opazovati.

Simulacijska shema (blokovni diagram) [2]

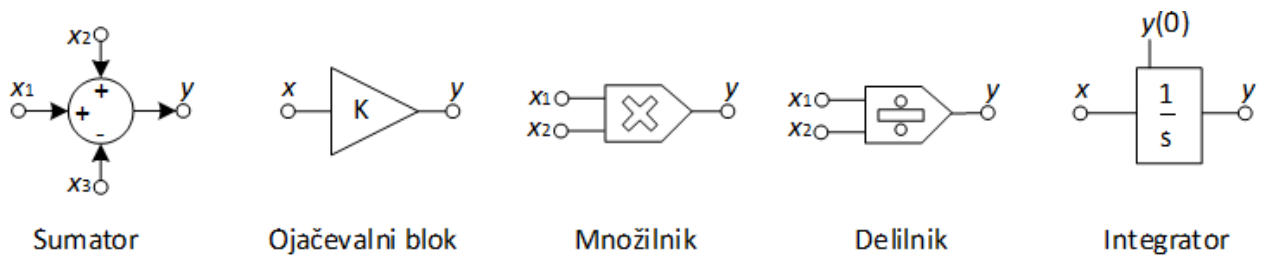
Osnova za zvezno simulacijo nekega modela je posebna grafična predstavitev, ki jo običajno imenujemo simulacijska shema. Le-ta ima veliko skupnega z bločnimi diagrami, ki jih uporabljamo zlasti pri zapisu sistemov vodenja. Zato bomo tudi osnovne gradnike simulacijskih shem imenovali bloki. Bločna predstavitev preurejenih enačb (simulacijska shema) torej vsebuje funkcionalne bloke integratorje. Ostale enačbe preoblikujemo sproti med risanjem, ko nazorno vidimo, katere spremenljivke nam simulacijska shema že ponuja in katere spremenljivke je potrebno izraziti iz preostalih enačb.

Simulacijske sheme in bločni diagrami predstavljajo grafično predstavitev enačb, ki jih dobimo v postopku matematičnega modeliranja. Inženirjem so simulacijske sheme in bločni diagrami bolj nazorni kot kakršne koli sheme, ki so sicer bližje fizikalnemu sistemu, iz njih pa je razvidna sama zgradba modela.

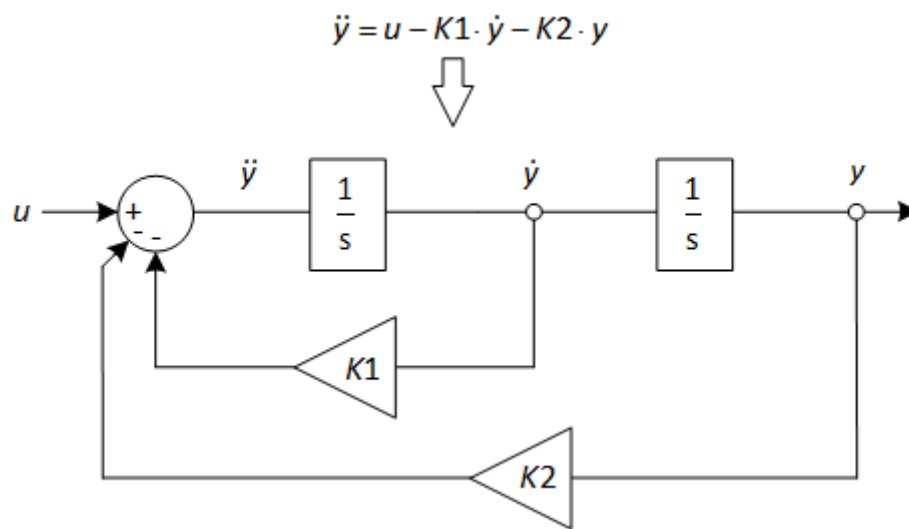
Ker so matematični modeli dinamičnih sistemov običajno opisani s sistemom diferencialnih enačb, predstavlja indirektna metoda za reševanje diferencialnih enačb osnovni simulacijski pristop.

Po tej metodi je potrebno najvišji odvod integrirati tolikokrat, kolikor je njegov red. Indirektna metoda je uporabna, če je možno iz diferencialne enačbe izraziti najvišji odvod in če diferencialna enačba ne vsebuje višjih odvodov vhodnega signala (če pa le-ti nastopajo, je v primeru linearnih sistemov bolj smiselno sistem simulirati po konceptu prenosnih funkcij). V postopku modeliranja in kreiranja simulacijskega modela (simulacijske sheme) je potrebno preurediti diferencialno enačbo tako, da ostane na levi strani najvišji odvod, vse ostalo pa prenesemo na desno stran enačbe.

Osnovne bloke, ki jih uporabljamo v simulacijski shemi, prikazuje slika 2:



Slika 2: Pogosto uporabljeni bloki v simulacijski shemi.



Slika 3: Primer simulacijske sheme.



Univerza v Mariboru

Fakulteta za energetiko

Tehnološko modeliranje energetskega procesa

Zbirka laboratorijskih vaj

Ime in priimek: _____

Vpisna številka: _____

Študijsko leto: _____

Kraj študija:

Krško

Velenje

Datum opravljavanja vaj

1. _____

2. _____

3. _____

Pregledal: _____

Ocena: _____

Datum: _____

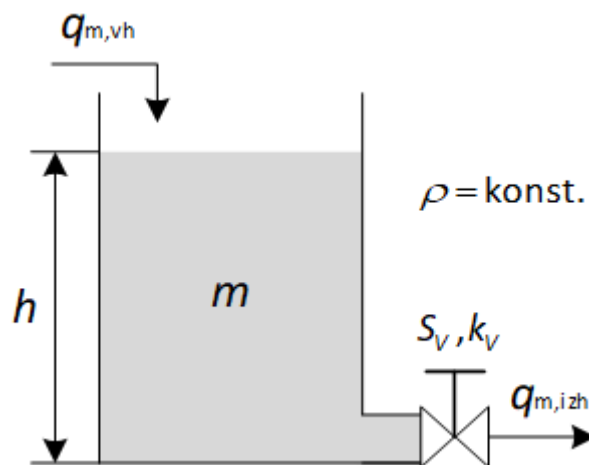
1. vaja

Hidravlični sistem – shranjevalniki tekočin

1.1 Opis vaje [3]

Shranjevalniki fluidov predstavljajo standardne dele najrazličnejših energetskih in procesnih obratov. Energetski procesi lahko v splošnem vsebujejo tudi podslope, sestavljene iz shranjevalnikov tekočin in plinov, ki so med seboj povezani s cevovodi. Črpalke, kompresorji in ventili pa skrbijo za ustrezne pretoke. V sklopu laboratorijske vaje si bomo pogledali primer shranjevanja in gibanja tekočine (vode) ter postopek modeliranja enostavnega hidravličnega sistema.

Za boljše razumevanje si kot osnovni primer vzemimo shranjevalnik tekočine s konstantnim dotokom, ki ga zagotavlja črpalka. Odtok tekočine se uravnava z ventilom na dnu shranjevalnika. Shranjevalnik je pravokotne oblike in konstantnega preseka (A). Stisljivost tekočine lahko zanemarimo, pri čemer je njena gostota konstantna. Razviti želimo matematični model spreminjanja višine tekočine h v shranjevalniku na sliki.



Slika 4: Shranjevalnik tekočine s konstantnim dotokom.

Glede na zastavljeni problem model temelji na ravnotežni enačbi masnih pretokov (1) oz. ravnotežni enačbi volumenskih pretokov (2):

$$\frac{dm}{dt} = \rho \frac{dV}{dt} = \rho A \frac{dh}{dt} = q_{m,vh} - q_{m,izh} \quad (1)$$

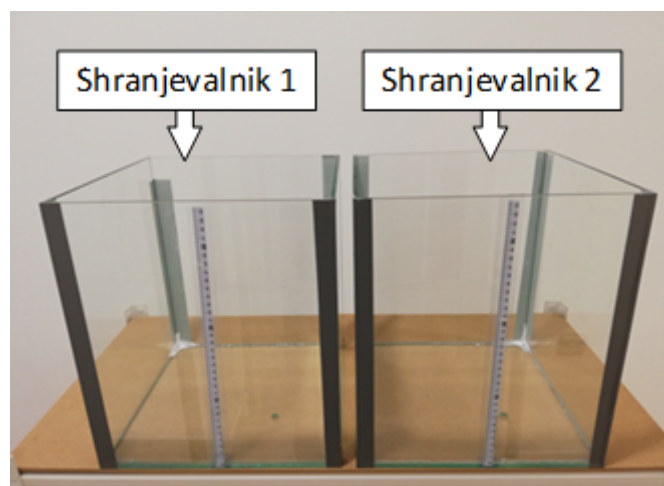
$$\frac{dV}{dt} = A \frac{dh}{dt} = q_{v,vh} - q_{v,izh} \quad (2)$$

Opazimo lahko, da smo v zgornjo enačbo (1) s pomočjo relacije volumna (V) in mase (m) uvedli eno od veličin, ki nas zanima, in sicer b . Drugo veličino, ki jo predstavlja površina prereza odprtine ventila (S_V) na sliki 4, pa uvedemo s pomočjo nelinearne (kvadratične) relacije med pretokom skozi cevi/odprtine/ventile in padcem tlaka. Pri tem je potrebno upoštevati tudi konstanto ventila (K_V), ki je karakteristični podatek ventila in jo podaja proizvajalec, saj je pomembna tudi pri dimenzioniranju in izbiri ventilov. [3]

Na podoben način, kot smo ga prikazali, lahko modeliramo tudi bolj kompleksne strukture povezav shranjevalnikov tekočin.

1.2 Besedilo naloge

V laboratoriju opravite meritve dveh shranjevalnikov tekočin, ki sta prikazana na sliki 5. Shranjevalnika tekočine imata enake dimenzije, vendar različno iztočno odprtino na dnu, zaradi česar bo volumenski pretok $q_{V,izh1} < q_{V,izh2}$. V sklopu vaje izmerite dimenzije obeh shranjevalnikov, ki jih potrebujete za izpeljavo matematičnega modela ter izmerite funkcijsko odvisnost nivoja vode v shranjevalnikih – $b = f(q_{V,vh}, q_{V,izh})$. Pri tem naj bo začetni nivo vode v obeh shranjevalnikih $b(0) = 30$ cm.

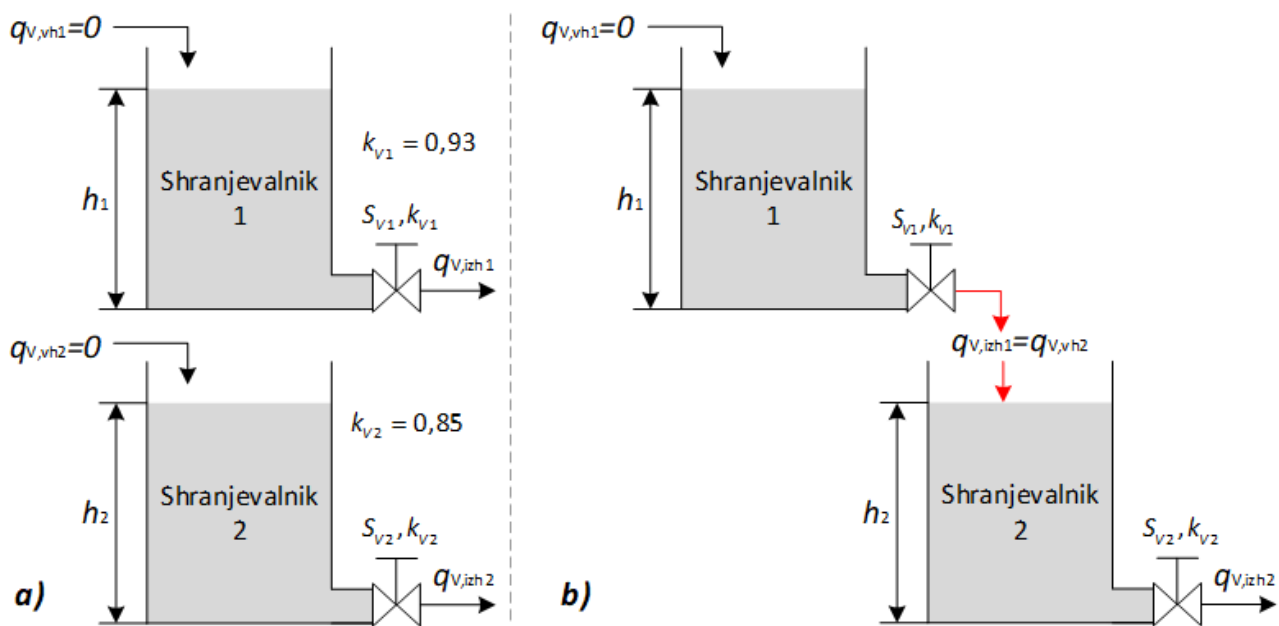


Slika 5: Shranjevalnik tekočine.

Laboratorijska vaja je razdeljena na dva dela. V prvem delu se izvajajo ločene meritve na posameznem shranjevalniku (slika 6. a), medtem ko se v drugem delu vaje izvajajo meritve na sistemu dveh povezanih shranjevalnikov (slika 6. b). V okviru vaje:

- a) izmerite dimenzije obeh shranjevalnikov tekočine za potrebo izpeljave matematičnega modela.

- izmerite funkcijsko odvisnost $h_1 = f(q_{V,izh1})$ in $h_2 = f(q_{V,izh2})$ - ločena obravnava shranjevalnikov tekočine (slika 6. a), pri čemer je $q_{V,vh1} = 0$ in $q_{V,vh2} = 0$.
- izmerite funkcijsko odvisnost $h_1 = f(q_{V,izh1})$ in $h_2 = f(q_{V,vh2}, q_{V,izh2})$ sistema dveh povezanih shranjevalnikov tekočin (slika 6. b), pri čemer je $q_{V,vh1} = 0$.
- izpeljite matematični model za primer enega shranjevalnika tekočine (ločena obravnava) ter narišite pripadajočo simulacijsko shemo.
- izpeljite matematični model za sistem dveh povezanih shranjevalnikov tekočin.
- v sklopu računalniških vaj v Matlab/Simulink programu simulirajte dinamično obnašanje sistema za oba obravnavana primera ter primerjajte rezultate z meritvami.



Slika 6: a) Ločena obravnava.

b) Sistem dveh povezanih shranjevalnikov tekočin.

1.3 Rezultati

a) Meritev dimenzij shranjevalnika

$a =$ _____ - dolžina shranjevalnika

$b =$ _____ - širina shranjevalnika

$D_1 =$ _____ - premer iztočne odprtine v shranjevalniku 1

$h_1(0) =$ _____ - začetni nivo vode v shranjevalniku 1

$D_2 =$ _____ - premer iztočne odprtine shranjevalnika 2

$h_2(0) =$ _____ - začetni nivo vode v shranjevalniku 2

b) Meritev funkcijske odvisnosti $h_1 = f(q_{v,izh1})$ in $h_2 = f(q_{v,izh2})$ - ločena obravnava

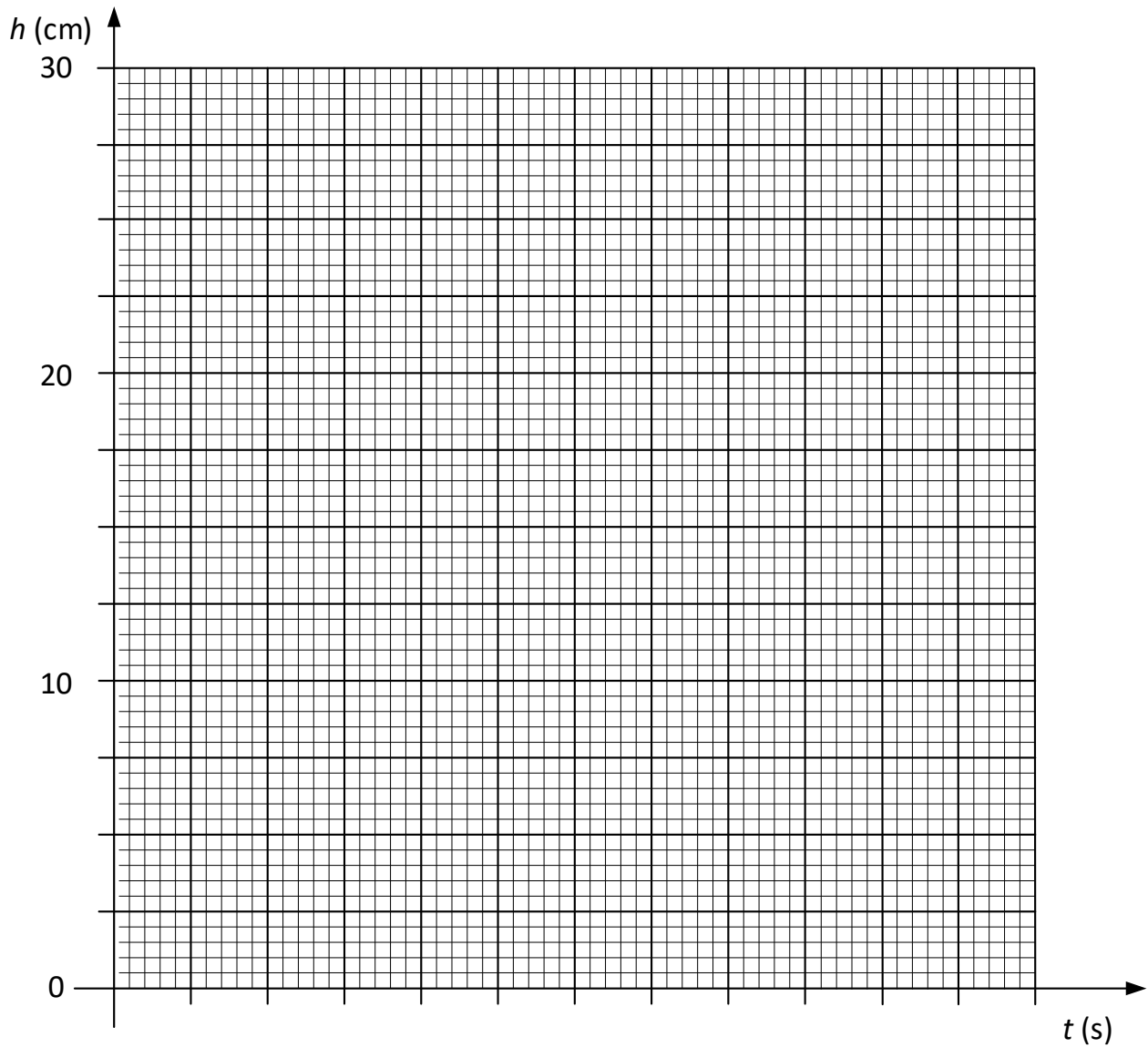
Tabela 1: Rezultati meritev – shranjevalnik 1

a)	t [s]	h_1 [cm]	b)	t [s]	h_1 [cm]
	0	_____		0	_____
	20	_____		20	_____
	40	_____		40	_____
	60	_____		60	_____
	80	_____		80	_____
	100	_____		100	_____
	120	_____		120	_____
	140	_____		140	_____

a)	t [s]	h_1 [cm]	b)	t [s]	h_1 [cm]
	160	_____		160	_____
	180	_____		180	_____
	200	_____		200	_____
	220	_____		220	_____
	240	_____		240	_____
	260	_____		260	_____
	280	_____		280	_____
	300	_____		300	_____
	320	_____		320	_____
	340	_____		340	_____
	360	_____		360	_____
	370	_____		370	_____
	380	_____		380	_____
	390	_____		390	_____
	400	_____		400	_____
	410	_____		410	_____
	420	_____		420	_____

Tabela 2: Rezultati – shranjevalnik tekočine 2

a)	t [s]	h_2 [cm]	b)	t [s]	h_2 [cm]
	0	_____		0	_____
	20	_____		20	_____
	40	_____		40	_____
	60	_____		60	_____
	80	_____		80	_____
	100	_____		100	_____
	120	_____		120	_____
	140	_____		140	_____
	160	_____		160	_____
	180	_____		180	_____
	200	_____		200	_____
	220	_____		220	_____
	230	_____		230	_____



Graf 1: Shranjevalnik 1 – graf _____. Shranjevalnik 2 – graf ____.

- c) Meritev funkcijske odvisnosti $h_1 = f(q_{v,izh1})$ in $h_2 = f(q_{v,vh2}, q_{v,izh2})$ - sistem dveh povezanih shranjevalnikov tekočin.

Tabela 3: Rezultati meritev – shranjevalnik tekočine 1 in 2

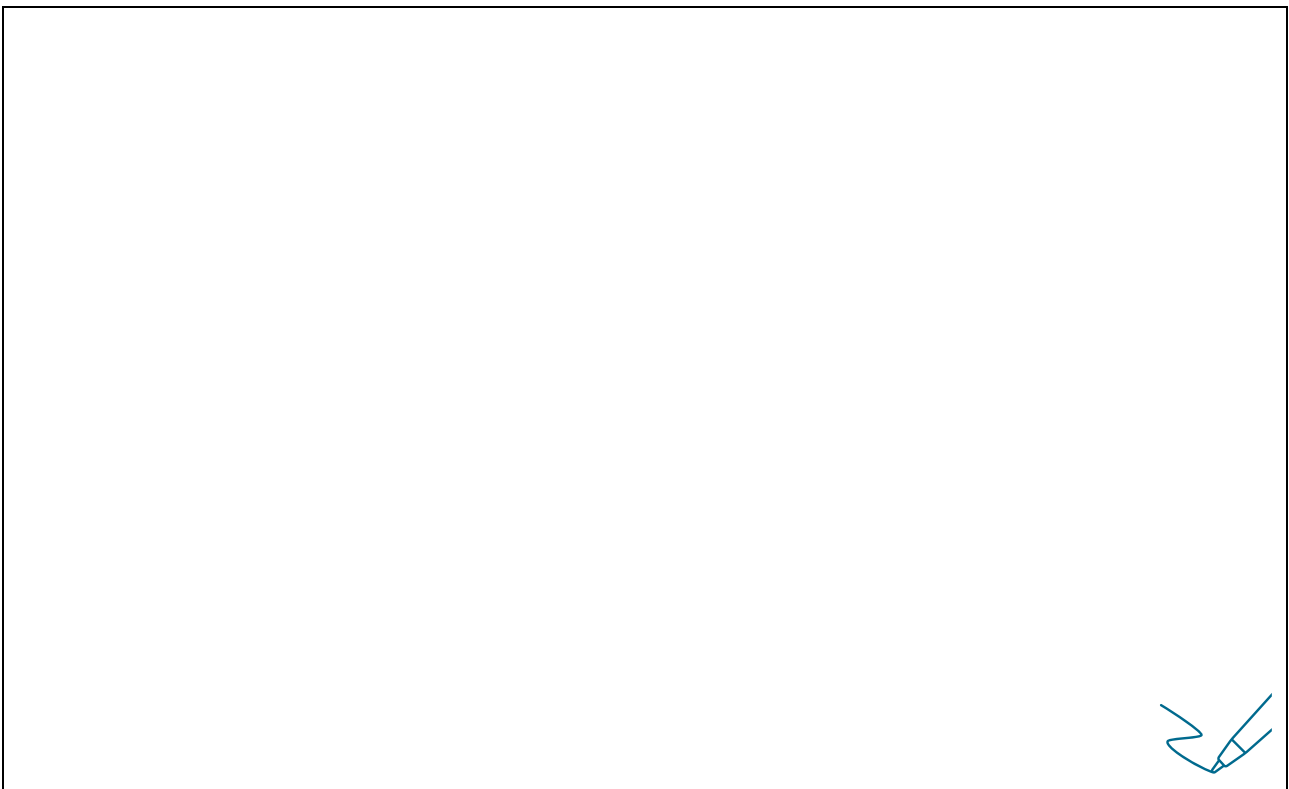
a)	t [s]	h_1 [cm]	h_2 [cm]	b)	t [s]	h_1 [cm]	h_2 [cm]
	0	_____	_____		0	_____	_____
	20	_____	_____		20	_____	_____
	40	_____	_____		40	_____	_____
	60	_____	_____		60	_____	_____
	80	_____	_____		80	_____	_____
	100	_____	_____		100	_____	_____
	120	_____	_____		120	_____	_____
	140	_____	_____		140	_____	_____
	160	_____	_____		160	_____	_____
	180	_____	_____		180	_____	_____
	200	_____	_____		200	_____	_____
	220	_____	_____		220	_____	_____
	240	_____	_____		240	_____	_____
	260	_____	_____		260	_____	_____
	280	_____	_____		280	_____	_____

a)	t [s]	h_1 [cm]	h_2 [cm]	b)	t [s]	h_1 [cm]	h_2 [cm]
	300	_____	_____		300	_____	_____
	320	_____	_____		320	_____	_____
	340	_____	_____		340	_____	_____
	360	_____	_____		360	_____	_____
	370	_____	_____		370	_____	_____
	380	_____	_____		380	_____	_____
	390	_____	_____		390	_____	_____
	400	_____	_____		400	_____	_____
	410	_____	_____		410	_____	_____
	420	_____	_____		420	_____	_____

- d) Izpeljava matematičnega modela za primer enega shranjevalnika tekočine (ločena obravnava) in pripadajoča simulacijska shema.



- e) Izpeljava matematičnega modela za sistem dveh povezanih shranjevalnikov tekočin.



1.4 Komentar

(kratek komentar vaje, povzetek, temeljne ugotovitve ...)

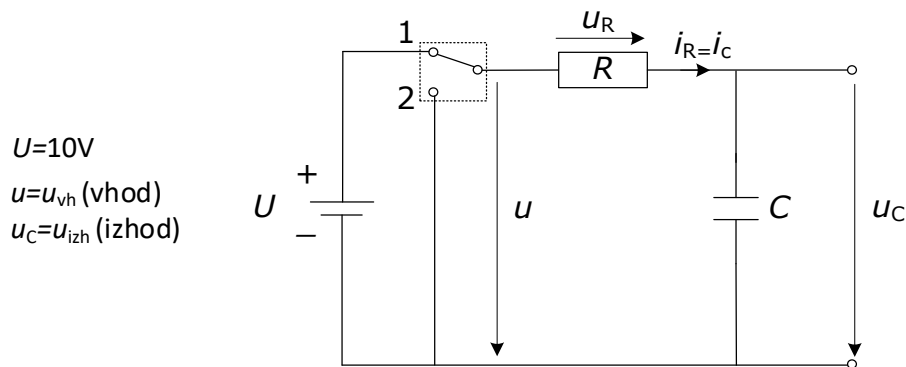


2. vaja

RC vezje

(polnjenje in praznjenje kondenzatorja)

2.1 Vežalna shema



Slika 7: Vežalna shema RC vezja.

2.2 Besedilo naloge

Na osciloskopu izmerite časovne poteke električne napetosti u , u_R , u_C in toka i_C pri polnjenju in praznjenju kondenzatorja (prehodni pojav). V sklopu vaje:

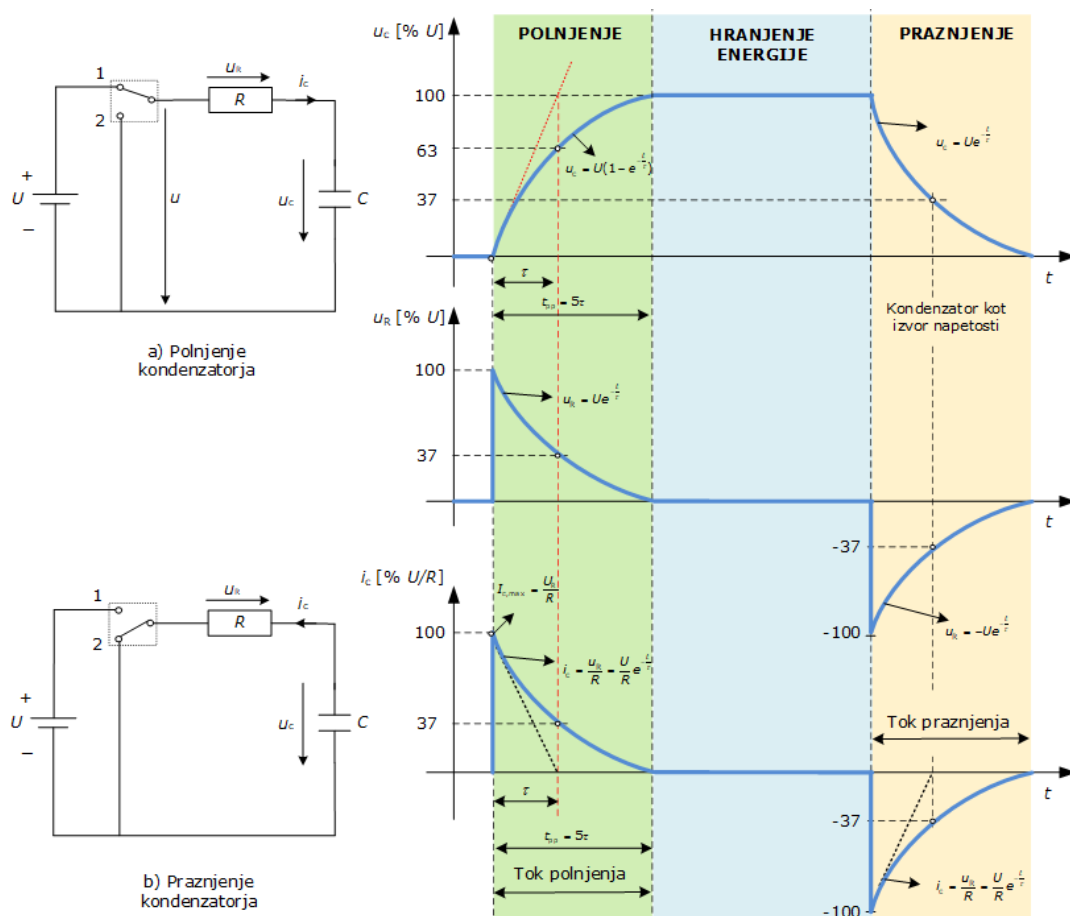
- na osnovi izmerjenih časovnih potekov določite časovno konstanto prehodnega pojava (τ) ter določite čas trajanja prehodnega pojava t_{pp} , pri tem rezultate primerjajte z izračunanimi vrednostmi. Opazujte časovni potek napetosti u_C v odvisnosti od velikosti R in C elementov za naslednje primere:
 - primer 1: $R = 1 \text{ k}\Omega$, $C = 1000 \text{ }\mu\text{F}$.
 - primer 2: $R = 270 \text{ }\Omega$, $C = 100 \text{ }\mu\text{F}$.
- izpeljite matematični model RC vezja in v Matlab/Simulink-u izdelajte simulacijski model. Rezultate meritev primerjajte s simulacijskim izračunom.

2.3 Opis vaje

Če opravimo v električnem vezju stikalno operacijo, bodo s časom vse električne veličine prešle iz enega stacionarnega stanja v drugo stacionarno stanje. Prehode iz enega v drugo stacionarno stanje imenujemo prehodni pojavi. V sklopu vaje bomo tako analizirali prehodni pojav v primeru polnjenja in praznjenja kondenzatorja. Na naslednji sliki so prikazani časovni potek toka (i_C) in napetosti (u_C) na kondenzatorju med njegovim polnjenjem in praznjenjem ter napetost na upor (u_R). [4]

Ko kondenzator priključimo na enosmerno napetost U , se kondenzator ne naelektri takoj, ampak traja nekaj časa preden se na ploščah kondenzatorja nabere dovolj naboja, da ustvari električno polje v kondenzatorju, ki nato ustavi pritok novega naboja. Napetost na ploščah kondenzatorja u_c je namreč odvisna od naboja Q na ploščah, ki pa ga takoj ob vklopu napetostnega izvora ni. [4]

V trenutku vklopa (stikalo je v položaju 1) enosmernega električnega tokokroga s praznim kondenzatorjem je začetni tok polnjenja ($I_{c,max}$) določen z upornostjo upora R ($I = U/R$), saj na kondenzatorju ni nobene napetosti, ki bi nasprotovala napetosti izvora (celotna napetost izvora je na ohmskem uporu). Prazen kondenzator pomeni torej v trenutku priključitve na enosmerno napetost kratek stik. Po določenem času se kondenzator naelektri z elektrino $Q = C \cdot U$, napetost na kondenzatorju narašča in vedno bolj nasprotuje napetosti izvora, kar zmanjšuje tok polnjenja (i_c). Ko se obe napetosti izenačita, imamo v električnem tokokrogu dve enaki, nasprotni napetosti, zato tok preneha teči. Naelektren oz. "poln" kondenzator predstavlja v enosmernem električnem tokokrogu neskončno upornost. Naelektren kondenzator hkrati predstavlja tudi izvor napetosti, posledično je takšno stanje na sliki predstavljeno kot stanje hranjenja energije. [4]



Slika 8: Polnjenje in praznjenje kondenzatorja

Če v električni tokokrog s polnim kondenzatorjem stikalo sklenemo v položaj 2, kot prikazuje slika 8. b, se bo kondenzator začel prazniti z začetnim tokom, ki je določen po Ohmovem zakonu. Zaradi praznjenja kondenzatorja napetost na njem pada, z njo pa tudi tok, ki ga poganja napetost kondenzatorja, vse dokler se kondenzator ne izprazni. Na prikazanih časovnih potekih napetosti in toka temelji delovanje npr. časovnih stikal, generatorjev signalov ... [4]

Zakovitost spreminjanja napetosti na kondenzatorju in ostalih električnih veličin kroga med obema stacionarnima stanjema dobimo iz enačbe napetostne zanke [4]:

$$U = u_R + u_c = iR + u_c \quad \rightarrow \quad i = i_R = i_c$$

Z upoštevanjem izraza za tok kondenzatorja $i_c = C \cdot du_c/dt$ in nadaljnjim razvijanjem enačbe, pridemo do rešitve za napetost na uporu ter napetost in tok na kondenzatorju [4]:

$$u_R = Ue^{-\frac{t}{\tau}} \quad , \quad u_c = U(1 - e^{-\frac{t}{\tau}}) \quad , \quad i_c = \frac{u_R}{R} = \frac{U}{R}e^{-\frac{t}{\tau}} \quad \rightarrow \quad \text{kjer je } \tau = RC$$

Časovna konstanta prehodnega pojava (τ) je karakteristični čas, ki je odvisen od upora R in kapacitete kondenzatorja C . Po času $t = \tau$ vrednost veličin v prehodnem pojavu naraste na 63 % končne vrednosti ali pade na 37 % začetne vrednosti. Čeprav prehodni pojav izzveni šele po času $t \rightarrow \infty$, pa računsko in tudi z merjenjem lahko ugotovimo, da se prehodni pojav konča po času $t_{pp} \approx 5\tau$, ko vrednost veličine v prehodnem pojavu naraste na praktično 99,5 % končne ali pade na 0,5 % začetne vrednosti. Trajanje prehodnih pojavov v RC krogih je praktično premo sorazmerno z vrednostmi R in C elementov. [4]

V sklopu vaje na osciloskopu opazujte časovne poteke napetosti in toka pri polnjenju in praznjenju kondenzatorja. RC vezje skladno s sliko priključimo na enosmerni vir napetosti, nastavimo napetost 10 V ter opazujemo časovne poteke pri različnih vrednostih R in C elementov. Ko je stikalo v položaju 1 (glej sliko), se bo kondenzator polnil preko upora. S preklopom stikala iz položaja 1 v položaj 2, pa se začne kondenzator preko upora prazniti.

2.4 Seznam merilnih instrumentov in naprav

Enosmerni vir napetosti: _____

Osciloskop: _____

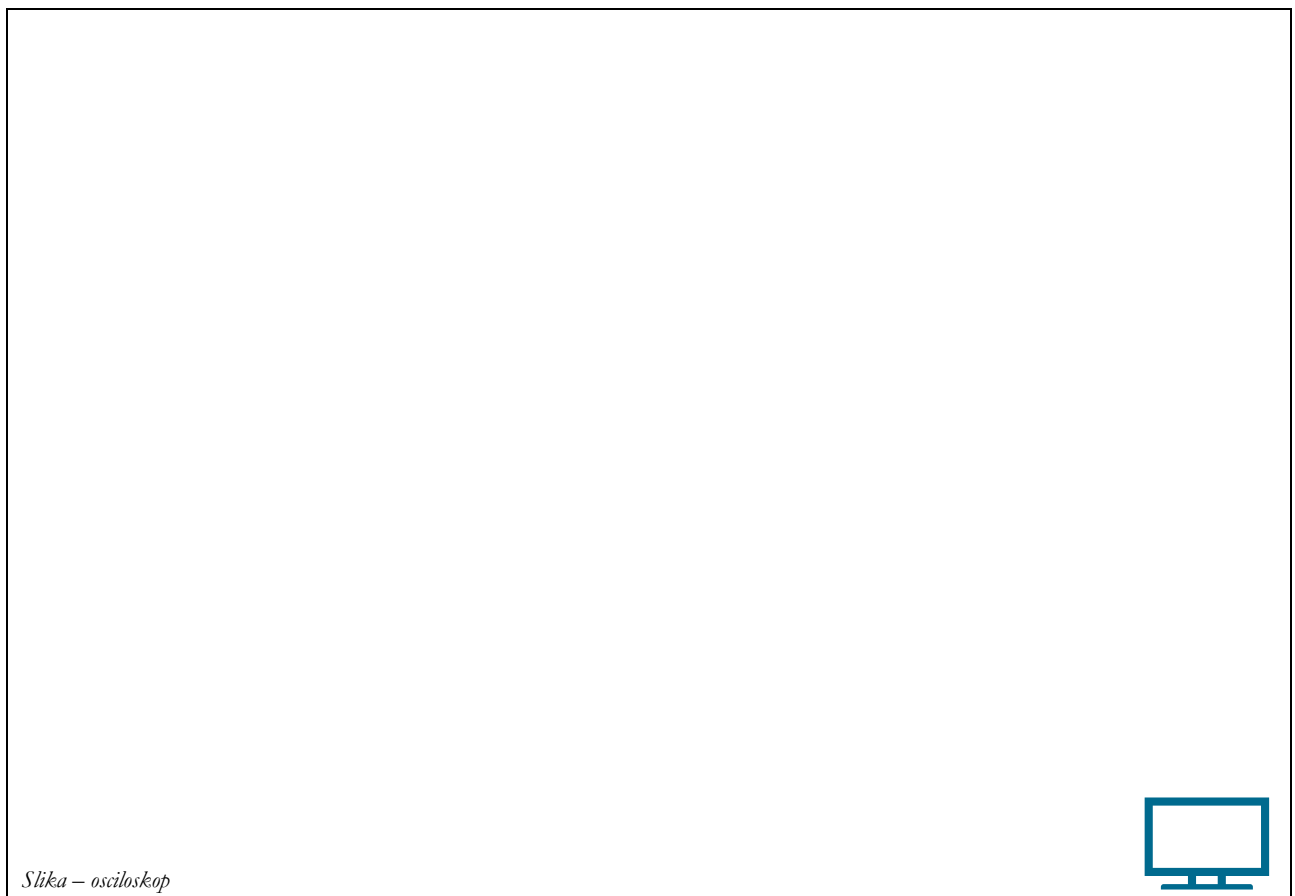
Tokovna sonda: _____

Napetostna sonda: _____

2.4 Rezultati

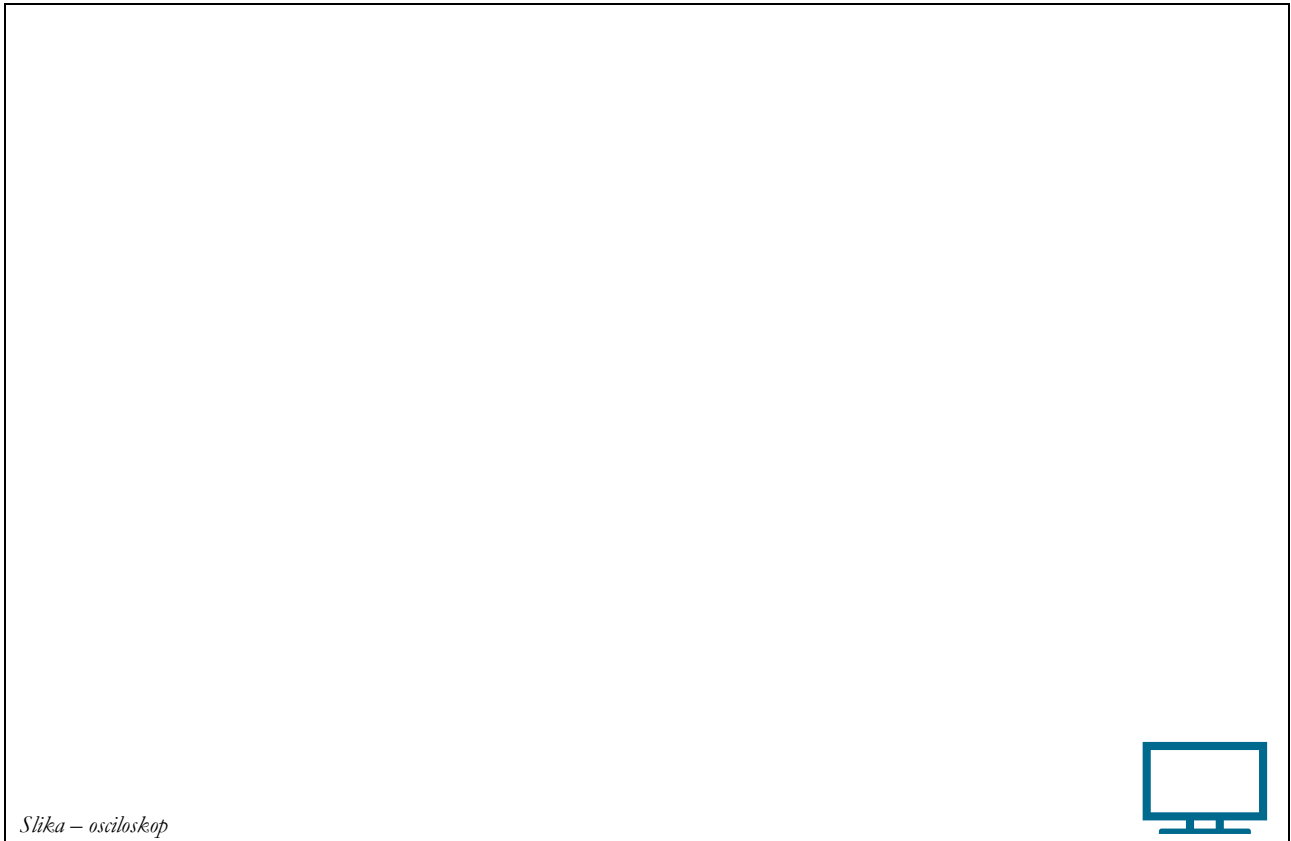
a) Primer 1: $R = 1 \text{ k}\Omega$, $C = 1000 \text{ }\mu\text{F}$

$U(100\%) =$ _____ ; $U(63\%) =$ _____

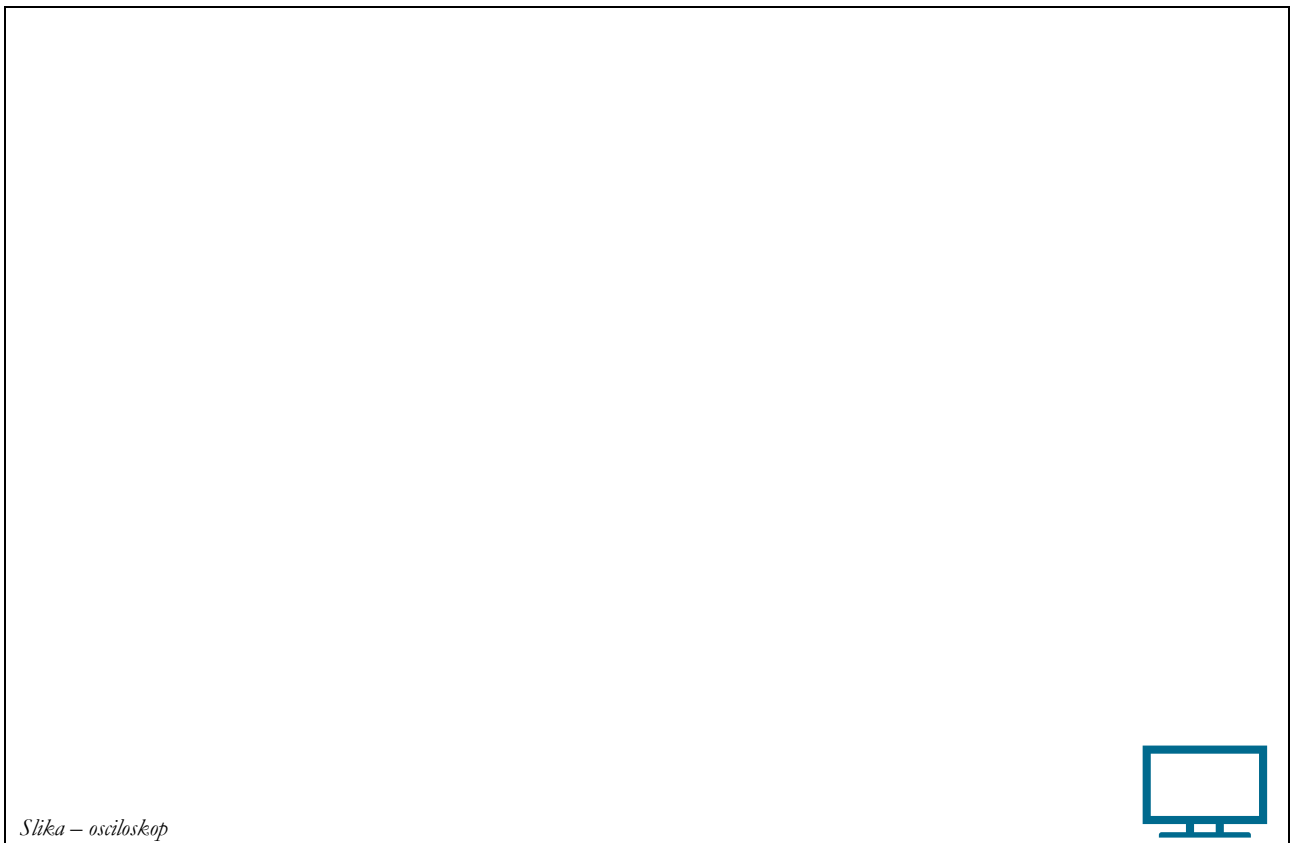


Slika – osciloskop

Slika: Časovni poteki napetosti u , u_c , u_R in toka i_c ($R = 1\text{k}\Omega$, $C = 1000\mu\text{F}$).




Slika: Časovni potek napetosti u , u_c ter določitev časovne konstante ($R = 1\text{k}\Omega$, $C = 1000\mu\text{F}$).



Slika: Določitev časa trajanja prehodnega pojava t_{pp} ($R = 1\text{k}\Omega$, $C = 1000\mu\text{F}$).

Izmerjene in izračunane vrednosti pri $R = 1\text{k}\Omega$, $C = 1000\mu\text{F}$.



$I_{c,\text{max}}$
(izračunani) = _____

$I_{c,\text{max}}$
(izmerjeni) = _____


τ_{izr} = _____

τ_{izm} = _____

$t_{\text{pp,izr}}$ = _____

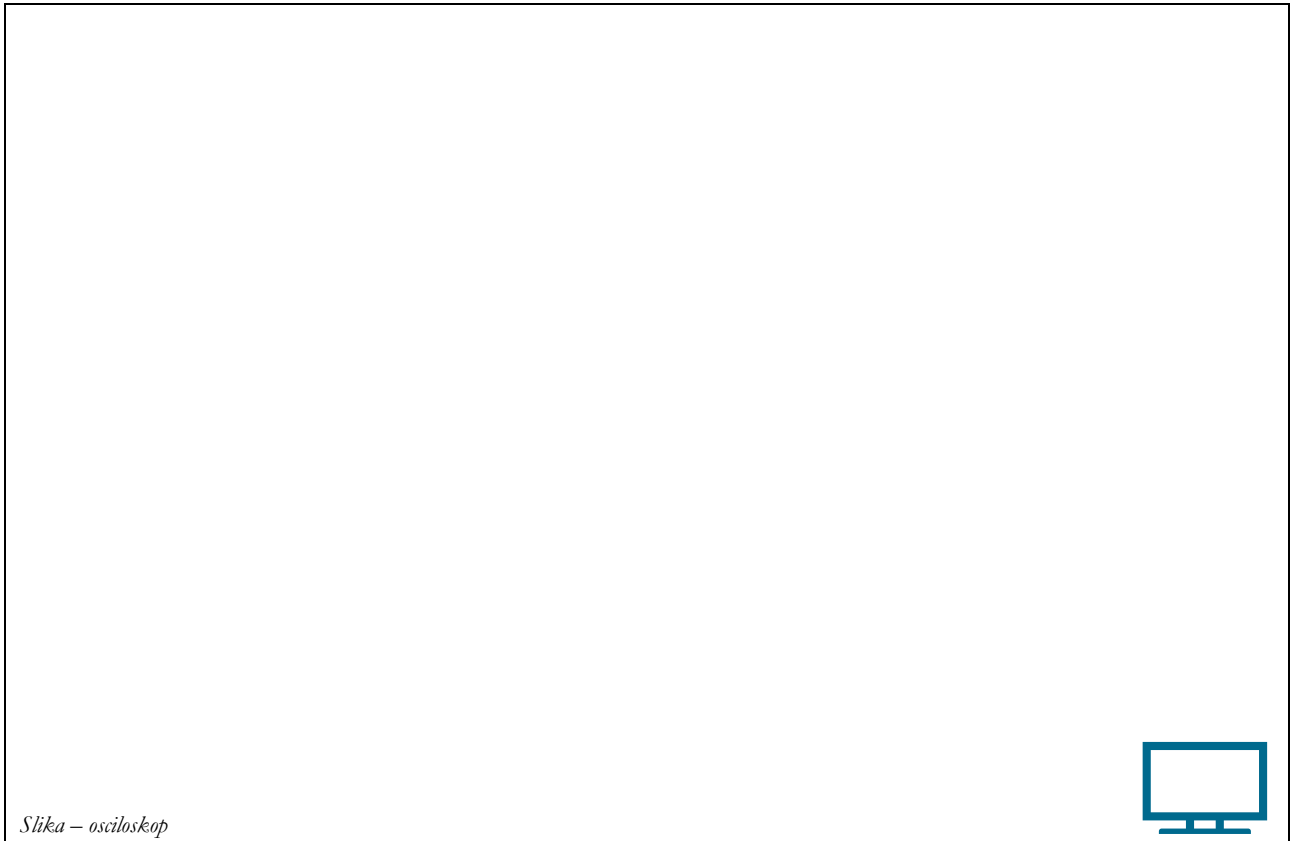
$t_{\text{pp,izm}}$ = _____

a) Primer 2: $R = 270\ \Omega$, $C = 100\ \mu\text{F}$

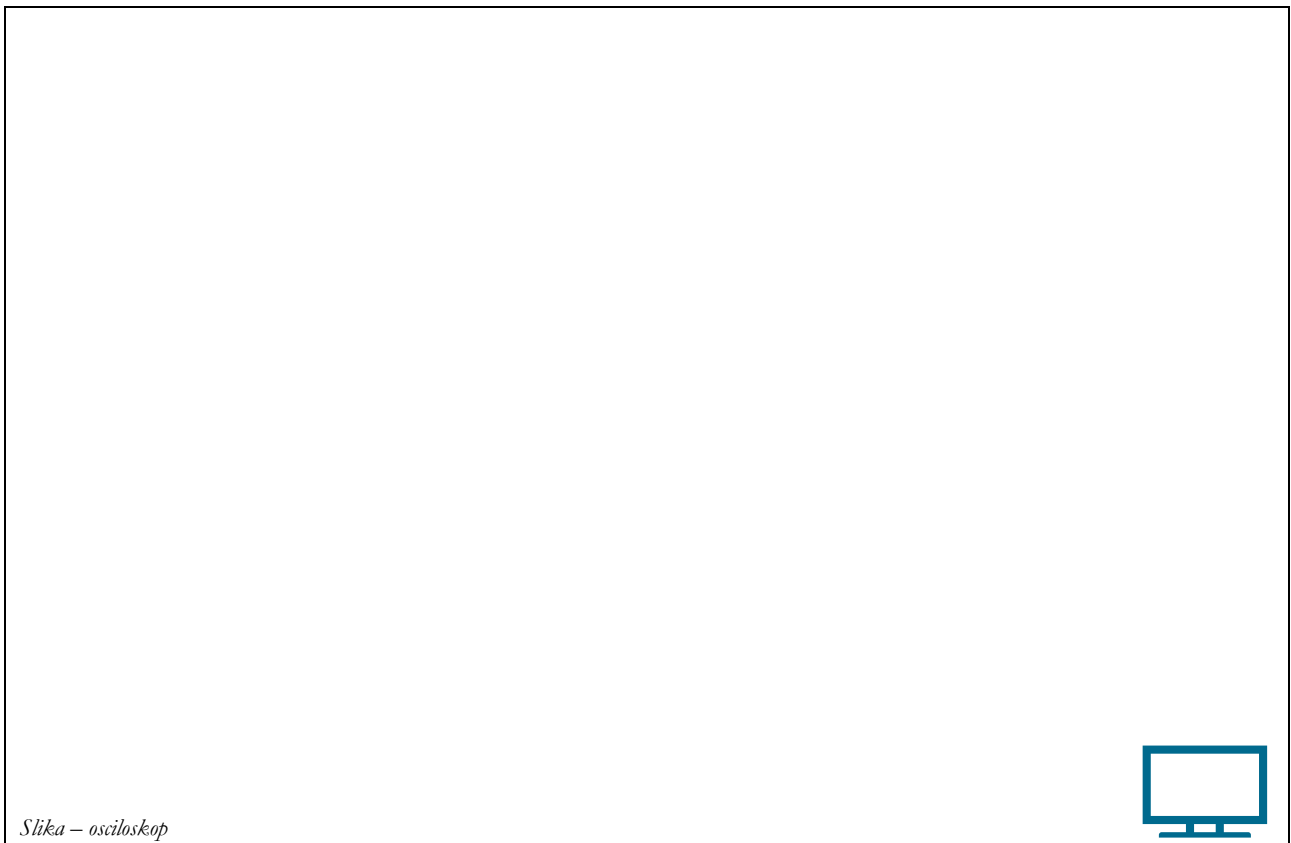


Slika – osciloskop

Slika: Časovni poteki napetosti u , u_c , u_R in toka i_c ($R = 270\Omega$, $C = 100\mu\text{F}$).



Slika: Časovni potek napetosti u , u_c ter določitev časovne konstante ($R = 270\Omega$, $C = 100\mu\text{F}$).



Slika: Določitev časa trajanja prehodnega pojava t_{pp} ($R = 270\Omega$, $C = 100\mu\text{F}$).

Izmerjene in izračunane vrednosti pri $R = 270\Omega$, $C = 100\mu\text{F}$.

$$\tau_{\text{izr}} =$$

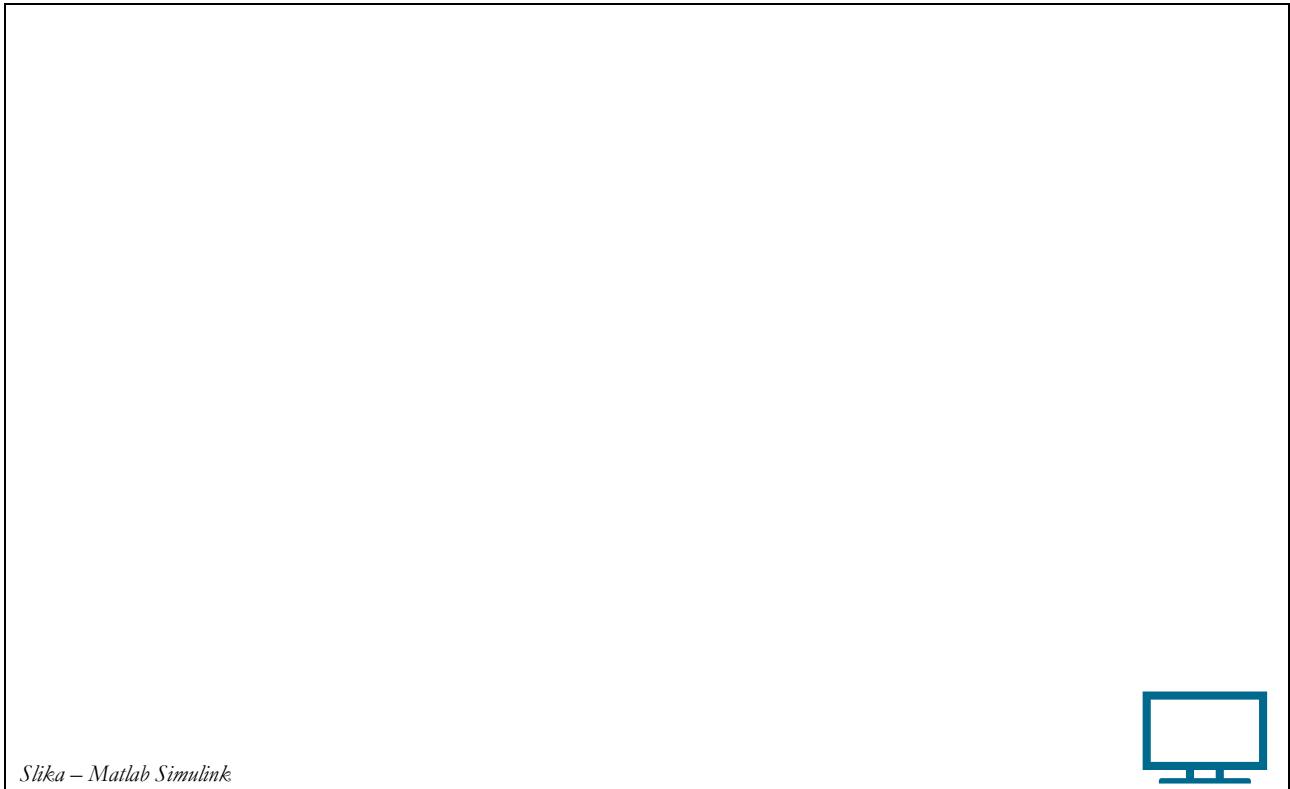
$$\tau_{\text{izm}} =$$

$$t_{\text{pp,izr}} =$$

$$t_{\text{pp,izm}} =$$

b) Izpeljava matematičnega modela:

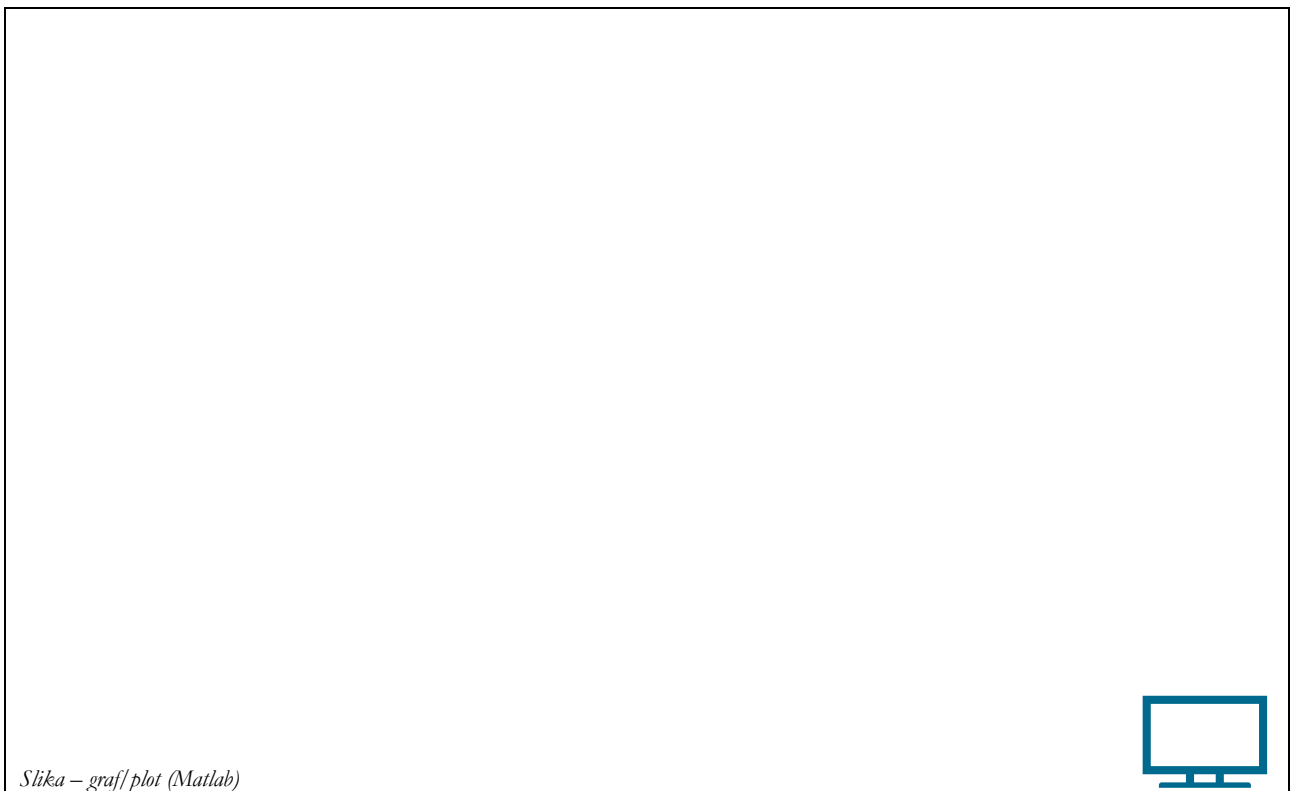
Indirektna metoda:



Slika – Matlab Simulink

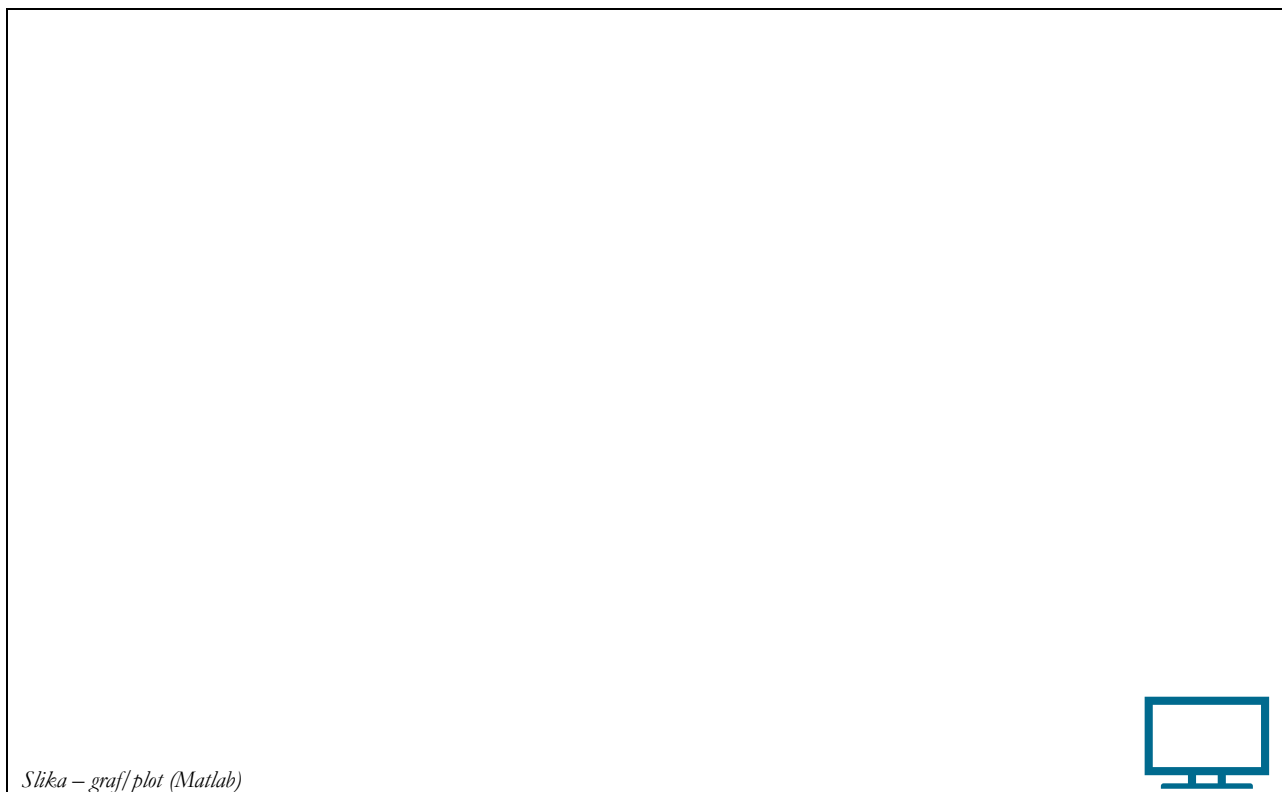
Slika: Simulacijski model (blokovna shema) – Matlab/Simulink.

Primer 1: $R = 1\text{k}\Omega$, $C = 1000\mu\text{F}$



Slika – graf/plot (Matlab)

Slika: Rezultati simulacije – časovni potek napetosti u , u_c ter u_R in toka skozi kondenzator i_c ($R = 1\text{k}\Omega$, $C = 1000\mu\text{F}$).



Slika – graf/plot (Matlab)

Slika: Rezultati simulacije – časovni potek napetosti u in u_c ter določitev časovne konstante τ_{sim} ter časa trajanja preh. pojava $t_{pp,sim}$ ($R = 1k\Omega$, $C = 1000\mu F$).

Določitev časovne konstante τ ter časa t_{pp} in primerjava rezultatov simulacije z izmerjeno vrednostjo τ :

$$\tau_{izm} = \underline{\hspace{10em}} \qquad \tau_{sim} = \underline{\hspace{10em}}$$

$$t_{pp,izm} = \underline{\hspace{10em}} \qquad t_{pp,sim} = \underline{\hspace{10em}}$$

Izračun relativne vrednosti pogreška v %:

Za časovno konstanto τ :

$$e_{r,1} = \frac{\tau_{sim} - \tau_{izm}}{\tau_{izm}} \cdot 100 \text{ [%]}$$

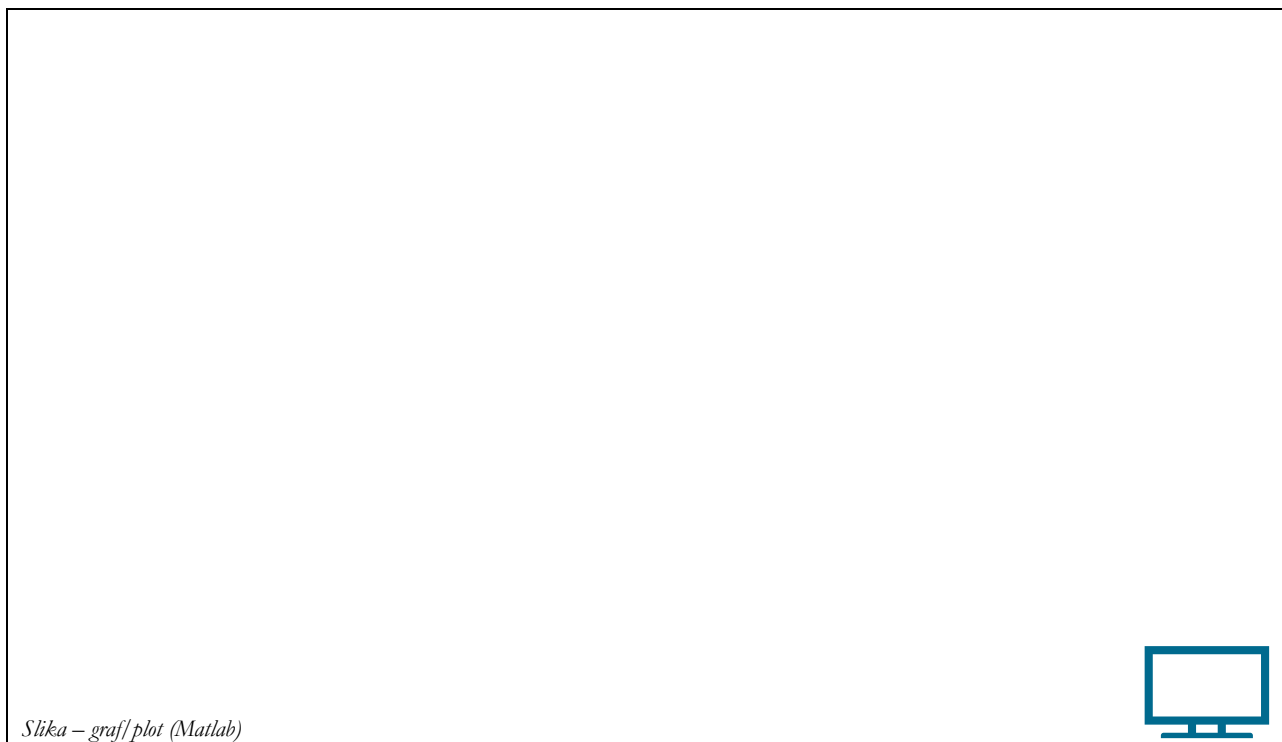
$$e_{r,1} = \underline{\hspace{10em}}$$

Za čas trajanja preh. pojava t_{pp} :

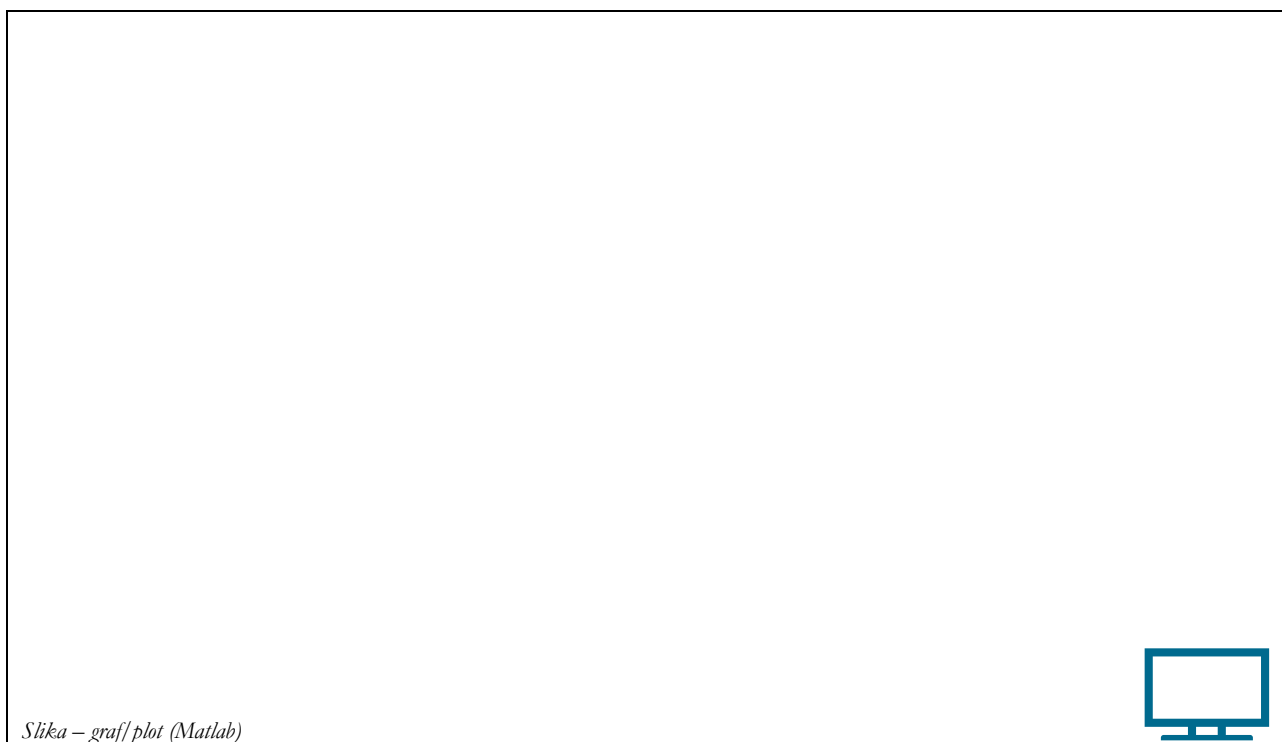
$$e_{r,2} = \frac{t_{pp,sim} - t_{pp,izm}}{t_{pp,izm}} \cdot 100 \text{ [%]}$$

$$e_{r,2} = \underline{\hspace{10em}}$$

Primer 2: $R = 270\Omega$, $C = 100\mu\text{F}$



Slika: Rezultati simulacije – časovni potek napetosti u , u_c ter u_R in toka skozi kondenzator i_c ($R = 270\Omega$, $C = 100\mu\text{F}$).



Slika: Rezultati simulacije – časovni potek napetosti u in u_c ter določitev časovne konstante τ_{sim} ter časa trajanja preh. pojava $t_{\text{pp,sim}}$ ($R = 270\Omega$, $C = 100\mu\text{F}$).

Določitev časovne konstante τ ter časa t_{pp} in primerjava rezultatov simulacije z izmerjeno vrednostjo τ :

$$\tau_{izm} = \underline{\hspace{10em}} \qquad \tau_{sim} = \underline{\hspace{10em}}$$

$$t_{pp,izm} = \underline{\hspace{10em}} \qquad t_{pp,sim} = \underline{\hspace{10em}}$$

Izračun relativne vrednosti pogreška v %:

Za časovno konstanto τ :

Za čas trajanja preh. pojava t_{pp} :

$$e_{r,1} = \frac{\tau_{sim} - \tau_{izm}}{\tau_{izm}} \cdot 100 \text{ [%]}$$

$$e_{r,2} = \frac{t_{pp,sim} - t_{pp,izm}}{t_{pp,izm}} \cdot 100 \text{ [%]}$$

$$e_{r,1} = \underline{\hspace{10em}}$$

$$e_{r,2} = \underline{\hspace{10em}}$$

2.4 Komentar

(kratek komentar vaje, povzetek, temeljne ugotovitve ...)



Zapišite v obliki komentarja odgovore na naslednja vprašanja:

Kako je definiran prehodni pojav?

Kaj predstavlja prazen kondenzator v trenutku priključitve na enosmerno napetost?

Kaj predstavlja naelektren oz. "poln" kondenzator v enosmernem električnem tokokrogu?

S čim je definiran začetni tok polnjenja kondenzatorja – $I_{c,max}$?

Kako je definiran čas trajanja prehodnega pojava?

Definicija časovne konstante prehodnega pojava (τ)?

3. vaja

Enostavna dušilka

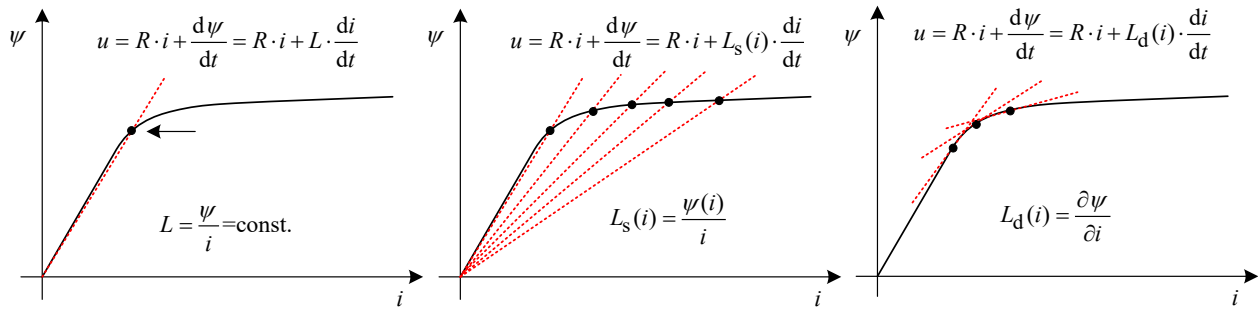
3.1 Opis vaje

Tuljava je elektronski element z dvema priključkoma, katerega glavna značilnost je induktivnost. Induktivnost (L) je elektrotehniška in fizikalna veličina, ki podaja razmerje med magnetnim pretokom (ϕ) skozi sklenjeno zanko in električnim tokom (i), ki je vzrok tega magnetnega pretoka. Induktivnost je snovno-geometrijska značilnost, sposobnost vodnikov, magnetov in tuljav, da s pomočjo električnega toka ustvarijo magnetni sklep (ψ). Tuljava je element v električnih vezjih, ki se upira hitrim spremembam toka, ki teče skozi tuljavo, zato te elemente imenujemo dušilke. Ločimo zračne dušilke in dušilke s feromagnetnim jedrom. [4] [5]

Modeliranje enostavne dušilke

Dinamični matematični modeli električnih strojev in naprav nam prikazujejo povezavo med njihovimi vhodi in izhodi ter opisujejo dinamiko njihovega obratovanja. S pomočjo modelov lahko opravimo analizo njihovih dinamičnih in statičnih lastnosti ter načrtujemo vodenje (el. stroj). Od modela pričakujemo, da se bo na spremembo vzbujanj odzival čim bolj podobno kot realni stroj oz. naprava. [6]

Do matematičnega modela pridemo s pomočjo teoretičnega in eksperimentalnega modeliranja, pri čemer se obe metodi dopolnjujeta. Pri modeliranju električnih naprav in strojev pogosto upoštevamo dve poenostavitvi, ki zajemata izgube v železu in nelinearne magnetne lastnosti železa. Glede na te poenostavitve dobimo poenostavljene modele, ki so robustnejši, vendar manj natančni. Modeli, ki upoštevajo magnetne nelinearnosti, so kompleksnejši in natančnejši, vendar je področje njihove uporabe odvisno od natančnosti določenih karakteristik magnetnih sklepov, v katerih so zajete magnetne nelinearnosti magnetnega kroga. V splošnem so dinamični modeli električnih strojev in naprav nelinearni, vendar jih lahko v okolici delovne točke lineariziramo ter tako dobimo linearni model. Induktivnost linearnega modela predstavlja naklon premice, ki poteka iz izhodišča skozi določeno delovno točko (slika 9. a). Za širše področje opazovanja potrebujemo nelinearne modele, pri čemer potrebujemo ustrezen način za modeliranje magnetnih nelinearnosti železa. Za magnetno nelinearne modele je značilno, da induktivnost ni več konstantna in jo lahko izpeljemo z uvedbo statičnih in dinamičnih induktivnosti, predstavljenih na sliki 9. b in 9. c. [6]



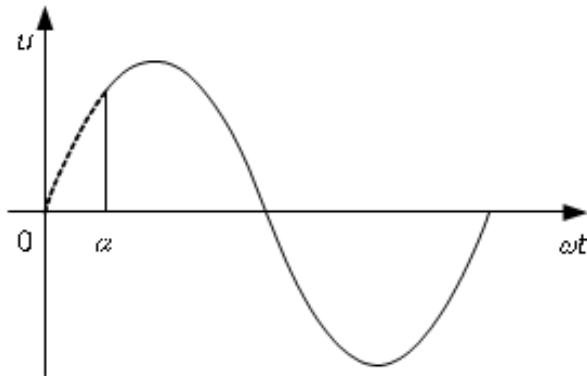
Slika 9: a) Določitev induktivnosti za linearni model b) Določitev statične induktivnosti $L_s = \psi/i$ in c) Določitev dinamične induktivnosti $L_d = \partial \psi / \partial i$ za nelinearni model.

Karakteristika magnetnega sklepa $\psi = f(i)$ je karakteristika celotnega magnetnega kroga. Podobno kot pri karakteristiki snovi (B/H karakteristika) lahko sedaj pri karakteristiki naprave uvedemo statične in dinamične induktivnosti, prikazane na sliki 9.b. Dinamična induktivnost nam torej podaja naklon tangente na karakteristiko magnetnega sklepa.

V sklopu laboratorijskih in računalniških vaj si bomo tako pogledali eksperimentalno določitev karakteristike magnetnih sklepov $\psi(i)$ enostavne dušilke ter določitev dinamičnih induktivnosti $L_d = \partial \psi / \partial i$ (magnetno-nelinearnih parametrov), katere uporabimo pri izpeljavi dinamičnega modela enostavne dušilke. [6]

Za ovrednotenje dinamičnega modela enostavne dušilke bomo v sklopu vaje izmerili tudi prehodni pojav pri vklopu dušilke na omrežno napetost ter rezultate meritev primerjali s simulacijskimi izračuni. V dinamični model bo kot vhodna neodvisna veličina vstavljena izmerjena električna napetost, medtem ko izhod predstavlja časovni odziv električnega toka skozi dušilko. V kolikor želimo ustrezno analizirati dinamično obnašanje enostavne dušilke, pa je potrebno poznavanje vpliva kota vklopa in remanentnega magnetizma na časovni potek vklopnega toka, kar pa je predstavljeno v nadaljevanju.

Prehodni pojav pri vklopu enostavne dušilke na omrežno napetost



Slika 10: Vklonni kot α .



Slika 11: Elektronsko stikalo.

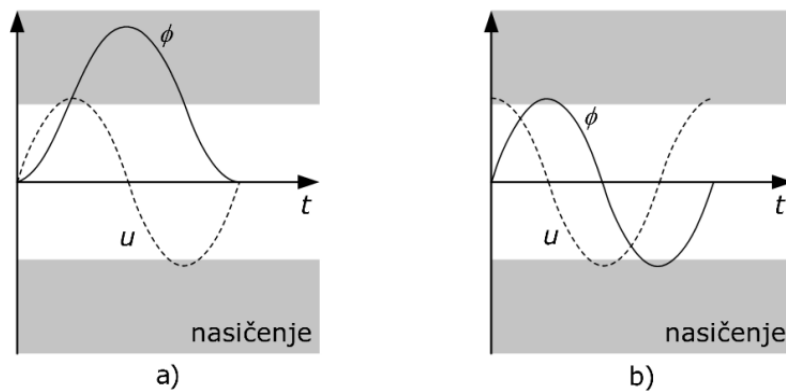
Do prehodnih pojavov pride pri vsaki spremembi obratovalnega stanja: pri priključitvi električnega stroja ali naprave na mrežo, pri spremembi obremenitve, v primeru kratkega stika na primarni ali sekundarni strani, itd. Pri vklopu dušilke na omrežno napetost bomo opazovali časovni potek toka in napetosti pri različnih trenutkih (kotih) vklopa. Želeni vklonni kot α ($\omega t = \alpha$) v resnici predstavlja časovni interval med pozitivnim prehodom napetosti skozi nič in trenutkom vklopa (slika 10). V ta namen bomo uporabili elektronsko stikalo (slika 11), ki poskrbi ravno za ta časovni zamik pri vklopu dušilke na omrežno napetost. Elektronsko stikalo uporabimo tako, da z nastavljamim gumbom določimo želeni vklonni kot ter s pritiskom tipke izvedemo vklop. Vklonni kot nastavljammo na območju od 0 do 360° , tako da vklope v negativni polperiodi napetosti izvedemo s koti nad 180° . [7]

V stacionarnem stanju je tok prostega teka skoraj enak magnetilnemu in po navadi znaša le nekaj odstotkov nazivnega toka. V času prehodnega pojava ob vklopu dušilke na omrežje pa lahko magnetilni tok zelo naraste in celo nekajkrat preseže vrednost nazivnega. V nadaljevanju je tako predstavljen vpliv kota vklopa in remanentnega magnetizma na vklonni pojav. [7]

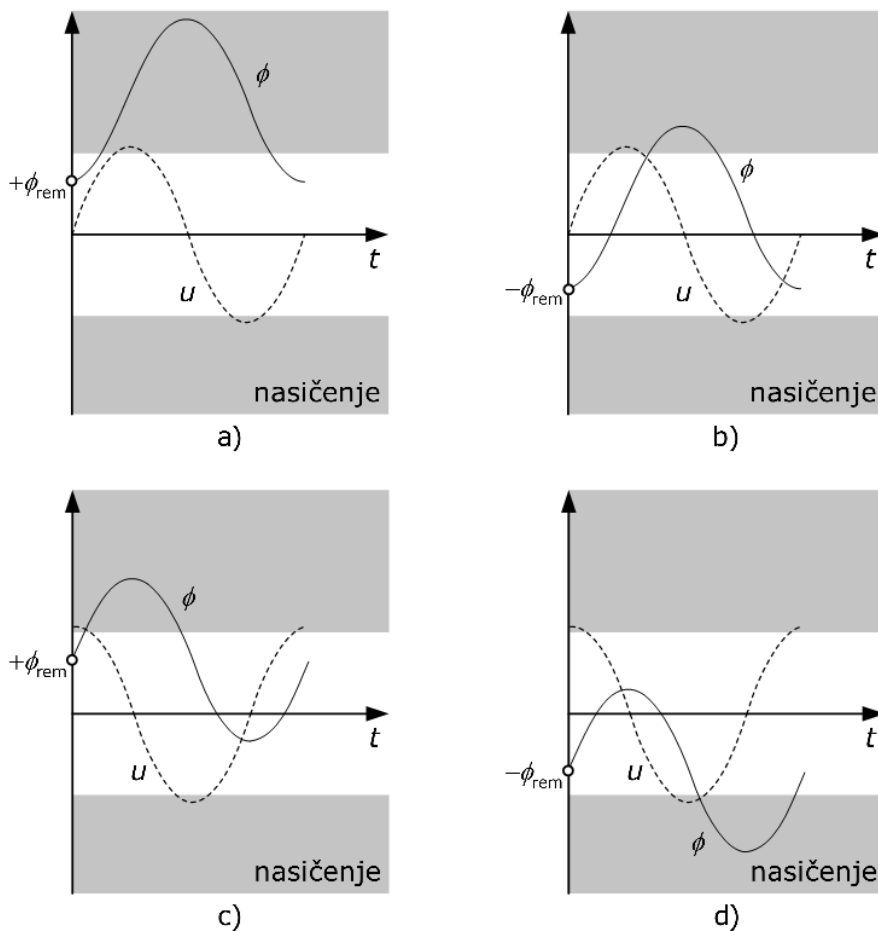
Vpliv kota vklopa in remanentnega magnetizma na vklonni tok

Ker je časovni potek napetosti običajno sinusni, lahko rešitev hitro poiščemo in tudi grafično predstavimo. Oglejmo si primere, ko v jedru ni remanentnega magnetnega polja, vklonni kot pa je enkrat 0° , drugič pa 90° (slika 12).

V kolikor je v železnem jedru prisotno remanentno magnetno polje, še vedno velja, da je časovni potek magnetnega pretoka integral napetosti, le začetna vrednost je v tem primeru premaknjena na vrednost remanentnega magnetnega pretoka (ϕ_{rem}). Na sliki 12 so prikazani poteki magnetnih pretokov pri različnih kotih vklopa in pri različnih smereh remanentnega magnetnega pretoka ($-\phi_{rem}$, $+\phi_{rem}$). [7]



Slika 12: Magnetni pretok pri vklopnem toku (a) 0° in (b) 90° brez remanentnega magnetnega pretoka.



Slika 13: Magnetni pretok pri vklopnem toku 0° , (a) s pozitivno in (b) negativno remanenco ter pri vklopnem toku 90° , (c) s pozitivno in (d) negativno remanenco.

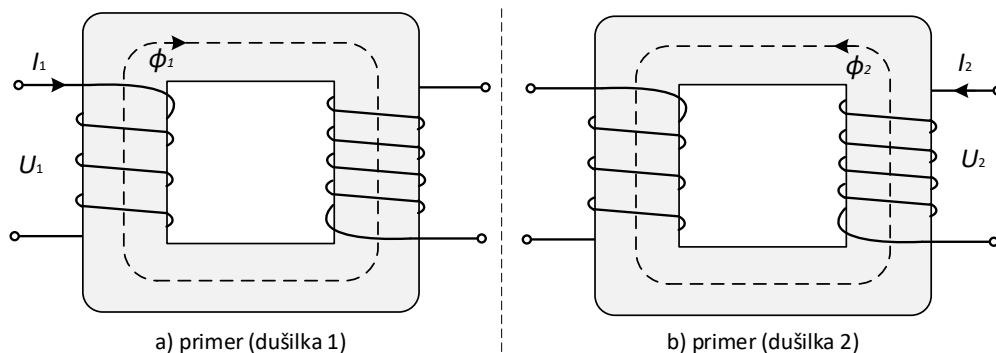
Iz prikazanih potekov magnetnih pretokov vidimo, da na potek vklopnega toka ne vpliva le vklopni kot, temveč tudi magnetne razmere v jedru v trenutku vklopa. [7]

Na vseh diagramih desno so sicer prikazani le magnetni pretoki. Tok, potreben, da ustvari tako magnetno polje, pa je odvisen od magnetilne krivulje železnega jedra, ki pa je v večini primerov nelinearna, z značilnim magnetnim nasičenjem pri večjih vrednostih magnetnega polja. [7]

To pomeni, da so vrednosti tokov, ki morajo ustvariti magnetni pretok, ki leži že globoko v nasičenju, zelo veliki in v najneugodnejših primerih (npr. slika 13) lahko dosežejo tudi nekaj desetkratno vrednost nazivnega toka. [7]

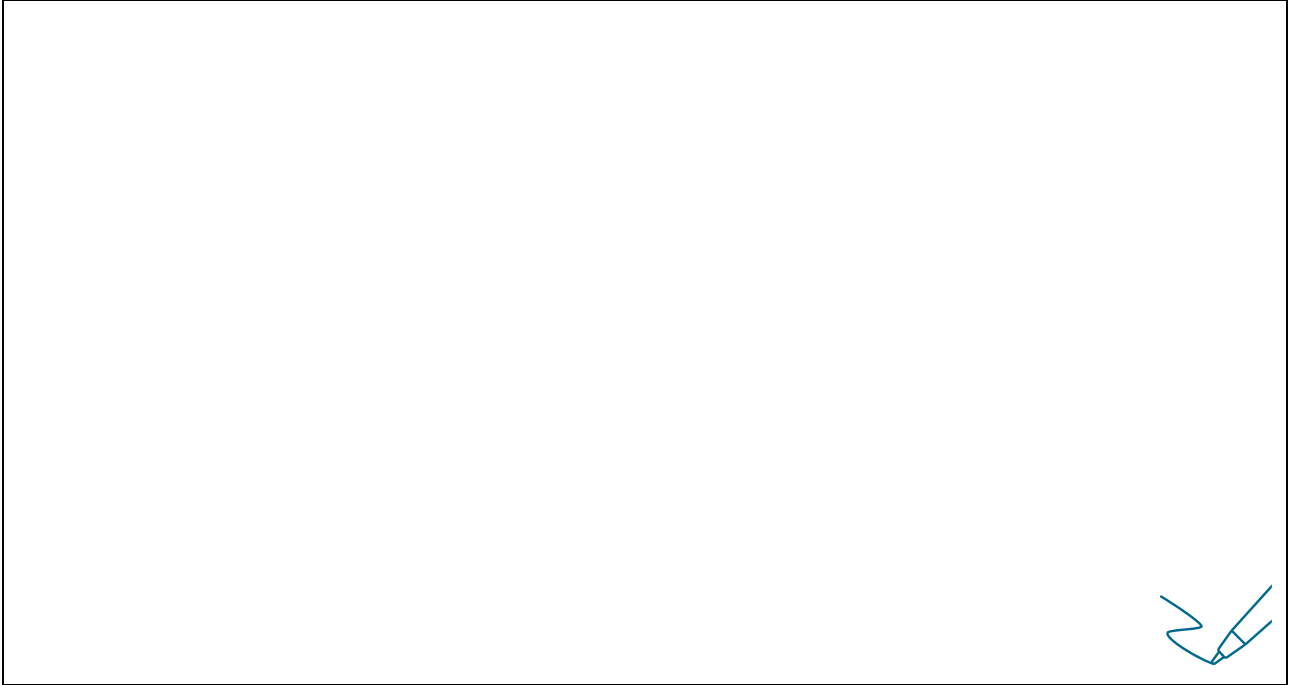
3.2 Besedilo naloge

V sklopu vaje izvedite meritve na enofaznem transformatorju, ki ga lahko v prostem teku obravnavamo kot enostavno dušilko z navitjem okoli železnega jedra. Meritve opravite v primeru napajanja primarnega navitja (Slika 14: primer a – dušilka 1) ter v primeru napajanja sekundarnega navitja (Slika 14: primer b – dušilka 2). Meritve opravite pri različnih amplitudah napajalne napetosti ($f = 50\text{Hz}$), in sicer tako, da boste lahko v sklopu računalniških vaj določili enolično magnetno nelinearno karakteristiko magnetnih sklepov $\psi(i)$ za oba primera.

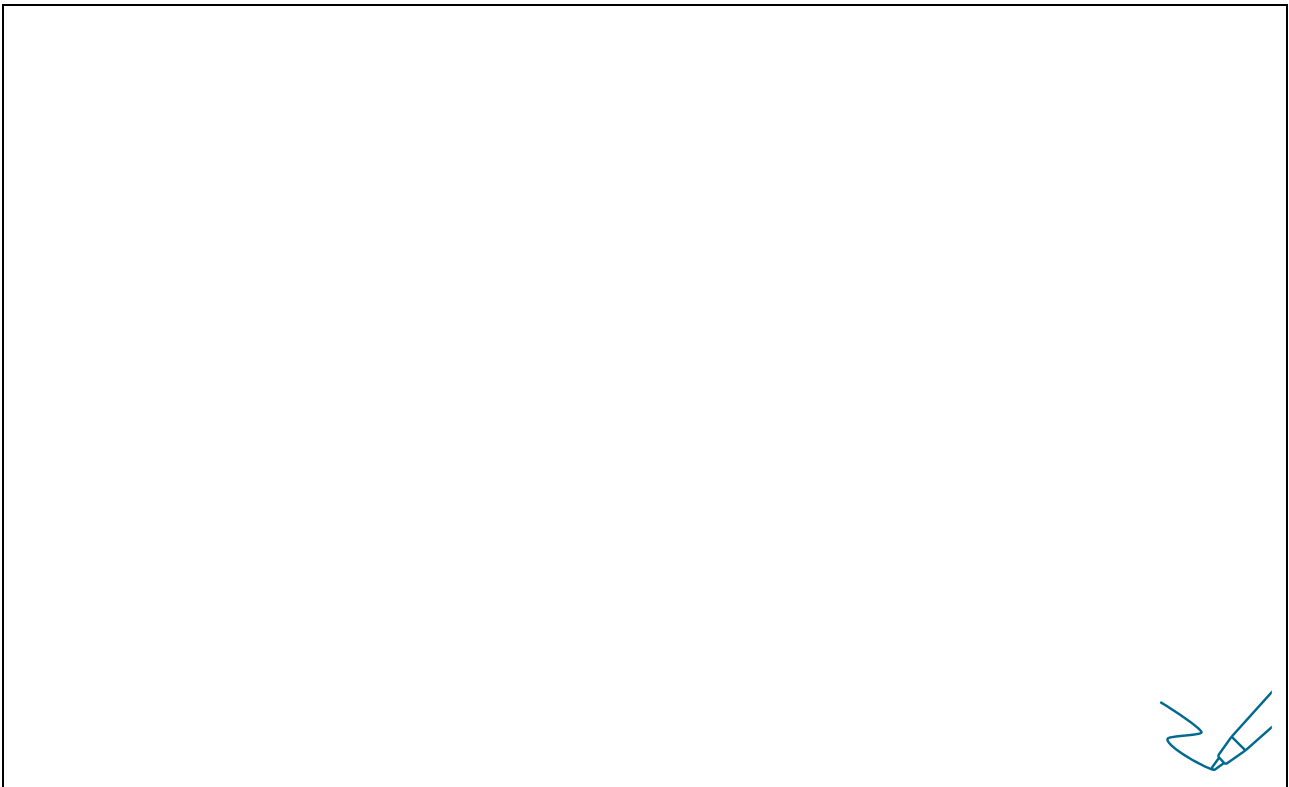


Slika 14: Enofazni transformator obravnavan kot enostavna dušilka.

Zapišite napetostno ravnotežno enačbo enostavne dušilke. Z uporabo definicije dinamične induktivnosti napetostno ravnotežno enačbo ustrezno preoblikujte. Izpeljana diferencialna enačba predstavlja magnetno-nelinearni dinamični model enostavne dušilke:



Vežalni načrt:



Nazivni podatki transformatorja ter izmerjene upornosti hladnega navitja:



Seznam instrumentov in naprav:



1. del vaje: V okviru vaje izvedite meritve, potrebne za določitev karakteristik magnetnih sklepov $\psi(i)$ enostavne dušilke ter določitev dinamičnih induktivnosti $L_d = \partial\psi/\partial i$:

- a) Z merilnim sistemom dSpace 1104 posnemite časovne poteke napetosti in tokov v primeru napajanja primarnega navitja (dušilka 1). Meritve opravite pri različnih amplitudah napajalne napetosti.
- b) Z merilnim sistemom dSpace 1104 posnemite časovne poteke napetosti in tokov v primeru napajanja sekundarnega navitja (dušilka 2). Meritve opravite pri različnih amplitudah napajalne napetosti.

2. del vaje: V okviru vaje posnemite prehodni pojav pri vklopu transformatorja na omrežno napetost v primeru napajanja primarnega in sekundarnega navitja. Vklon neobremenjenega transformatorja izvedite za dva skrajna primera. To sta vklop neobremenjenega transformatorja v trenutku,

1. ko je napetost maksimalna - $u = \hat{U} = \sqrt{2}U$ oziroma pri vklopnem kotu $\omega t = \alpha = 90^\circ$.
2. ko je napetost enaka nič - $u = 0$ oziroma pri vklopnem kotu $\omega t = \alpha = 0^\circ$ napetosti.

Razmagnetenje in namagnetenje transformatorskega jedra:

Vklonpe pojave bomo opazovali pri različnih vklopnih kotih in pri različnih stanjih remanentnega magnetnega polja v transformatorskem jedru, in sicer za primer:

- a) razmagnetenega jedra (počasno zmanjševanje amplitude napajalne napetosti proti 0),
- b) namagnetenega jedra (nenadni izklop sinusne napajalne/omrežne napetosti efektivne vrednosti 230 V),
- c) namagnetenega jedra na pozitivno vrednost gostote remanentnega magnetnega pretoka $+B_r$ (navitje prikopimo na enosmerni vir napajanja ter po namagnetenju jedra prekinemo tokokrog),
- d) namagnetenega jedra na negativno vrednost gostote remanentnega magnetnega pretoka $-B_r$ (navitje prikopimo na enosmerni vir napajanja obratne polaritete ter po namagnetenju jedra prekinemo tokokrog).

3.3 Rezultati – 1. del vaje

- a) Primarno navitje – dušilka 1

Tabela 4: Rezultati meritev – primarno navitje

$U_{1,\text{žel}}$ [V]	U_1 [V]	I_1 [A]	Ime shranjene datoteke (dSpace)
440	_____	_____	_____
420	_____	_____	_____
400	_____	_____	_____

$U_{1,žel}$ [V]	U_1 [V]	I_1 [A]	Ime shranjene datoteke (dSpace)
380	_____	_____	_____
360	_____	_____	_____
340	_____	_____	_____
320	_____	_____	_____
300	_____	_____	_____
280	_____	_____	_____
260	_____	_____	_____
240	_____	_____	_____
220	_____	_____	_____
200	_____	_____	_____
180	_____	_____	_____
160	_____	_____	_____
140	_____	_____	_____
120	_____	_____	_____
100	_____	_____	_____
80	_____	_____	_____
60	_____	_____	_____
40	_____	_____	_____

$U_{1,\text{žel}} [\text{V}]$	$U_1 [\text{V}]$	$I_1 [\text{A}]$	Ime shranjene datoteke (dSpace)
20	_____	_____	_____
0	_____	_____	_____
_____	_____	_____	_____
_____	_____	_____	_____
_____	_____	_____	_____
_____	_____	_____	_____
_____	_____	_____	_____
_____	_____	_____	_____
_____	_____	_____	_____
_____	_____	_____	_____
_____	_____	_____	_____
_____	_____	_____	_____
_____	_____	_____	_____
_____	_____	_____	_____
_____	_____	_____	_____
_____	_____	_____	_____
_____	_____	_____	_____
_____	_____	_____	_____
_____	_____	_____	_____
_____	_____	_____	_____
_____	_____	_____	_____

b) Sekundarno navitje – dušilka 2

Tabela 5: Rezultati meritev – sekundarno navitje

$U_{2,\text{žel}} [\text{V}]$	$U_2 [\text{V}]$	$I_2 [\text{A}]$	Ime shranjene datoteke (dSpace)
320	_____	_____	_____
300	_____	_____	_____
280	_____	_____	_____

$U_{1,\text{žel}} [\text{V}]$	$U_1 [\text{V}]$	$I_1 [\text{A}]$	Ime shranjene datoteke (dSpace)
260	_____	_____	_____
240	_____	_____	_____
220	_____	_____	_____
200	_____	_____	_____
180	_____	_____	_____
160	_____	_____	_____
140	_____	_____	_____
120	_____	_____	_____
100	_____	_____	_____
80	_____	_____	_____
60	_____	_____	_____
40	_____	_____	_____
20	_____	_____	_____
0	_____	_____	_____

3.4 Rezultati – 2. del vaje

Primarno navitje – dušilka 1

1. Vklonni pojav v primeru, ko je napetost maksimalna - $u_1 = \hat{U}_1 = \sqrt{2}U_1$ oziroma pri vklonnem kotu $\omega t = \alpha = 90^\circ$.

Tabela 6: Rezultati meritev – primarno navitje – vklonni pojav – $u_1 = \hat{U}_1 = \sqrt{2}U_1$

Stanje feromagnetnega jedra	Št. meritve	Temenska vrednost toka \hat{i}_1 [A]	Ime shranjene datoteke (dSpace)
a) razmagneteno jedro	1.		
	2.		
b) namagneteno jedro (nenadni izklop)	1.		
	2.		
c) namagneteno jedro (+ B_r)	1.		
	2.		
d) namagneteno jedro (- B_r)	1.		
	2.		

2. Vklonni pojav v primeru, ko je napetost enaka nič - $u_1 = 0$ oziroma pri vklopnem kotu $\omega t = \alpha = 0^\circ$ napetosti.

Tabela 7: Rezultati meritev – primarno navitje – vklopni pojav – $u_1 = 0$

Stanje feromagnetnega jedra	Št. meritve	Temenska vrednost toka \hat{i}_1 [A]	Ime shranjene datoteke (dSpace)
a) razmagneteno jedro	1.		
	2.		
b) namagneteno jedro (nenadni izklop)	1.		
	2.		
c) namagneteno jedro (+ B_r)	1.		
	2.		
d) namagneteno jedro (- B_r)	1.		
	2.		

Sekundarno navitje – dušilka 2

1. Vklonni pojav v primeru, ko je napetost maksimalna - $u_2 = \hat{U}_2 = \sqrt{2}U_2$ oziroma pri vklonem kotu $\omega t = \alpha = 90^\circ$

Tabela 8: Rezultati meritev – sekundarno navitje – vklonni pojav $-u_2 = \hat{U}_2 = \sqrt{2}U_2$

Stanje feromagnetnega jedra	Št. meritve	Temenska vrednost toka \hat{i}_2 [A]	Ime shranjene datoteke (dSpace)
a) razmagneteno jedro	1.		
	2.		
b) namagneteno jedro (nenadni izklop)	1.		
	2.		
c) namagneteno jedro (+ B_r)	1.		
	2.		
d) namagneteno jedro (- B_r)	1.		
	2.		

2. Vklonni pojav v primeru, ko je napetost enaka nič - $u_2 = 0$ oziroma pri vklonem kotu $\omega t = \alpha = 0^\circ$ napetosti.

Tabela 9: Rezultati meritev – sekundarno navitje – vklonni pojav $-u_2 = 0$

Stanje feromagnetnega jedra	Št. meritve	Temenska vrednost toka \hat{i}_2 [A]	Ime shranjene datoteke (dSpace)
a) razmagneteno jedro	1.		

Stanje feromagnetnega jedra	Št. meritve	Temenska vrednost toka \hat{I}_2 [A]	Ime shranjene datoteke (dSpace)
	2.		
b) namagneteno jedro (nenadni izklop)	1.		
	2.		
c) namagneteno jedro (+ B_r)	1.		
	2.		
d) namagneteno jedro (- B_r)	1.		
	2.		

3.5 Komentar

(kratak komentar vaje, povzetek, temeljne ugotovitve ...)



--

Zapišite v obliki komentarja odgovore na naslednja vprašanja:

Opišite postopek (po korakih) določitve magnetno-nelinearnih parametrov (dinamičnih induktivnosti) dinamičnega modela enostavne dušilke na osnovi izmerjenih časovnih potekov napetosti in tokov.

Kateri dinamični model je po vašem mnenju najbolj fizikalno utemeljen in bi se nekako najbolj ujema z rezultati meritev v prehodnih pojavih in v stacionarnem stanju: model s statičnimi induktivnostmi ali model z dinamičnimi induktivnostmi?

4. vaja

Eksperimentalna določitev parametrov mehanskega podsistema električnega stroja

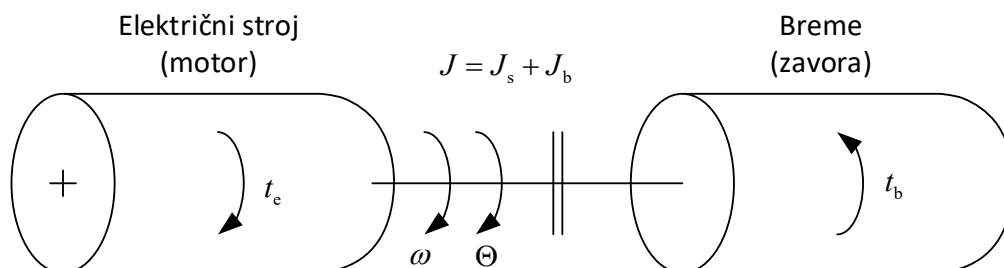


4.1 Opis vaje in merilnih metod

Motor in breme sta običajno povezana z reduktorjem, ki ga karakterizira ustrezna prestava hitrosti, elastičnost in mrtvi hod. Pri izvedbi standardnih meritev električnih motorjev pa sta motor in breme povezana s togo sklopko, skupen vztrajnostni moment obeh pa je skladno s sliko 13 enak $J = J_s + J_b$, pri čemer je J_s vztrajnostni moment el. stroja (motorja) ter J_b vztrajnostni moment bremena (aktivne zavore). Dinamične razmere na sliki 15 opiše diferencialna enačba gibanja (enačba mehanskega ravnotežja rotirajočih mas na gredi) [8]:

$$J \frac{d\omega}{dt} = t_e - t_b \Leftrightarrow \omega = \frac{d\Theta}{dt} \quad (1)$$

t_e je trenutna vrednost električnega navora, t_b je trenutna vrednost mehanskega navora (bremena), Θ in ω in pa sta kot zavrtitve gredi in trenutna hitrost. Enačba upošteva dejstvo, da je vsota vseh navorov na gredi enaka nič. [8]

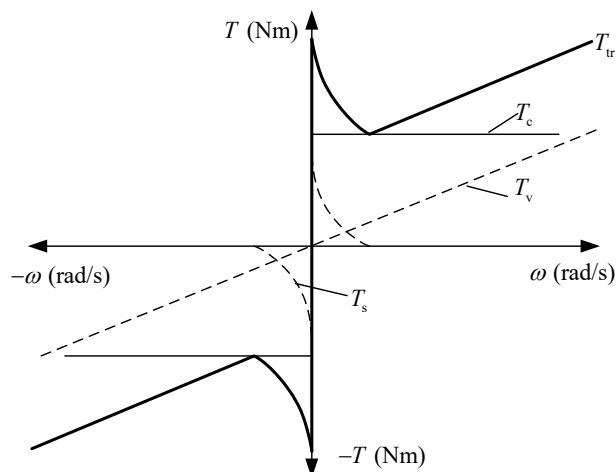


Slika 15: Električni pogon s togo sklopko in pripadajoči navori na gredi.

Navor bremena t_b je sestavljen iz navora trenja t_{tr} , navora zračnega upora t_z in čistega navora bremena t_L , torej velja $t_b = t_L + t_{tr} + t_z$. [8]

Navor trenja t_{tr} je prisoten na motorski in bremenski strani in je v skladu s sliko 16 sestavljen iz naslednjih delov [8]:

- navora statičnega trenja t_s , ki je od nič različen le v okolici stanja,
- navora Coulombovega trenja t_c , ki je konstanten in odvisen samo od smeri vrtenja,
- navora viskozne trenja t_v , ki je linearno odvisen od hitrosti.



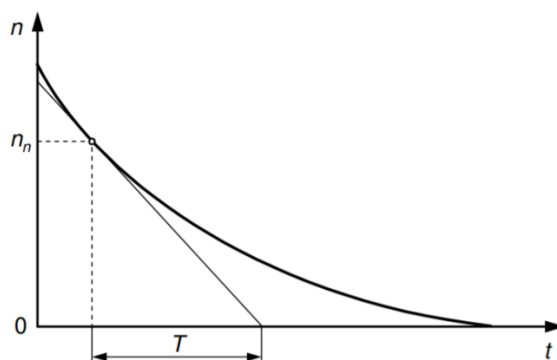
Slika 16: Navori trenja.

Na sliki 16 so narisane stacionarne vrednosti navorov, zato so označene z velikimi črkami. Navor statičnega trenja t_s je težko izmeriti, pojavi pa se samo pri hitrosti nič. Celoten navor bremena je potem enak vsoti posameznih prispevkov: $t_b = t_l + t_v + t_c + t_s$. Pri natančnem modeliranju bi morali upoštevati vse naštetе prispevke navorov, vendar pogosto naredimo zanemaritve in s tem izračune dodatno poenostavimo. V obravnavi bomo tako poleg mehanskega navora bremena t_l upoštevali le navor viskozne trenja $t_v = f \cdot d\Theta/dt$ ter navor Coulombovega trenja t_c , s čimer dobi enačba (1) naslednjo obliko [7]:

$$J \frac{d^2\Theta}{dt^2} = t_e - t_l - t_c - f \frac{d\Theta}{dt} \quad (2)$$

Določitev parametrov mehanskega podsistema zajema meritev karakteristike navora trenja, na osnovi katere določimo Coulombovo trenje T_c in koeficient viskozne trenja f ter izvedbo iztečnega preizkusa, na osnovi katerega lahko določimo vztrajnostni moment pogona J . Za določitev Coulombovega trenja in koeficienta viskozne trenja je potrebno ločeno izmeriti karakteristiko trenja testnega motorja in bremena (zavore). Karakteristiko trenja testnega motorja izmerimo tako, da izmerimo vrtilni moment na gredi, pri čemer nastavljam vrtljaje z zavoro, karakteristiko trenja zavore pa določimo tako, da nastavljam vrtljaje z motorjem. Iz dobljenih karakteristik lahko določimo in izračunamo Coulombovo trenje in koeficient viskozne trenja celotnega pogona. Naklon karakteristike trenja je koeficient viskozne trenja $f = \Delta T_{tr} / \Delta \omega = (60 \cdot \Delta T_{tr}) / (2\pi \cdot \Delta n)$, odsek na ordinati pa Coulombovo trenje T_c . [7]

Vztrajnostni moment J se najpogosteje določa eksperimentalno. Merilnih metod je več, v sklopu vaje pa bo vztrajnostni moment določen na osnovi iztečnega preizkusa. Iztek stroja je prehodni pojav, ki traja od izklopa napajanja do ustavitve. Iztečna krivulja pa podaja odvisnost vrtljajev od časa $n = f(t)$ – slika 17. Izmerimo jo tako, da motorju, ki se vrti z vrtilno hitrostjo, ki je približno 15 % nad nazivnimi vrtljaji, izključimo napajanje. Stroj se začne ustavljati, časovni potek vrtljajev pri izteku pa posnamemo. [7]



Slika 17: Iztečna krivulja.

Pri določevanju vztrajnostnega momenta na osnovi iztečnega preizkusa je potrebno upoštevati, da pri iztekanju nasprotuje vztrajnosti rotirajoče mase samo vrtilni moment trenja t_{tr} (imenovan tudi zavorni navor, saj vključuje predvsem izgube trenja in ventilacije ter izgube v železu), zato lahko glede na (1) zapišemo [7]:

$$J \frac{d\omega}{dt} = J \cdot \frac{2\pi}{60} \cdot \frac{dn}{dt} = t_{tr} \quad (3)$$

Diferencialni kvocient dn/dt v enačbi (3) lahko pri grafičnem določevanju kotnega pojemka (slika 16) nadomestimo z diferenčnim in zapišemo [7]:

$$T_{tr} = J \cdot \frac{2\pi}{60} \cdot \frac{\Delta n}{\Delta t} = J \cdot \frac{2\pi}{60} \cdot \frac{n_n}{T} \quad (4)$$

pri čemer je T namišljen iztečni čas, v katerem bi se stroj ustavil, če bi bil zavorni navor ves čas konstanten. Ta čas je enak subtangenti na krivuljo izteka v opazovani točki n_n in ga lahko grafično določimo. Na podlagi izračunanega zavornega navora oziroma navora trenja T_{tr} in krivulje izteka lahko na podlagi enačbe (4) izračunamo še vztrajnostni moment pogona J . V kolikor poznamo kataloški podatek o vztrajnostnem momentu bremena J_b

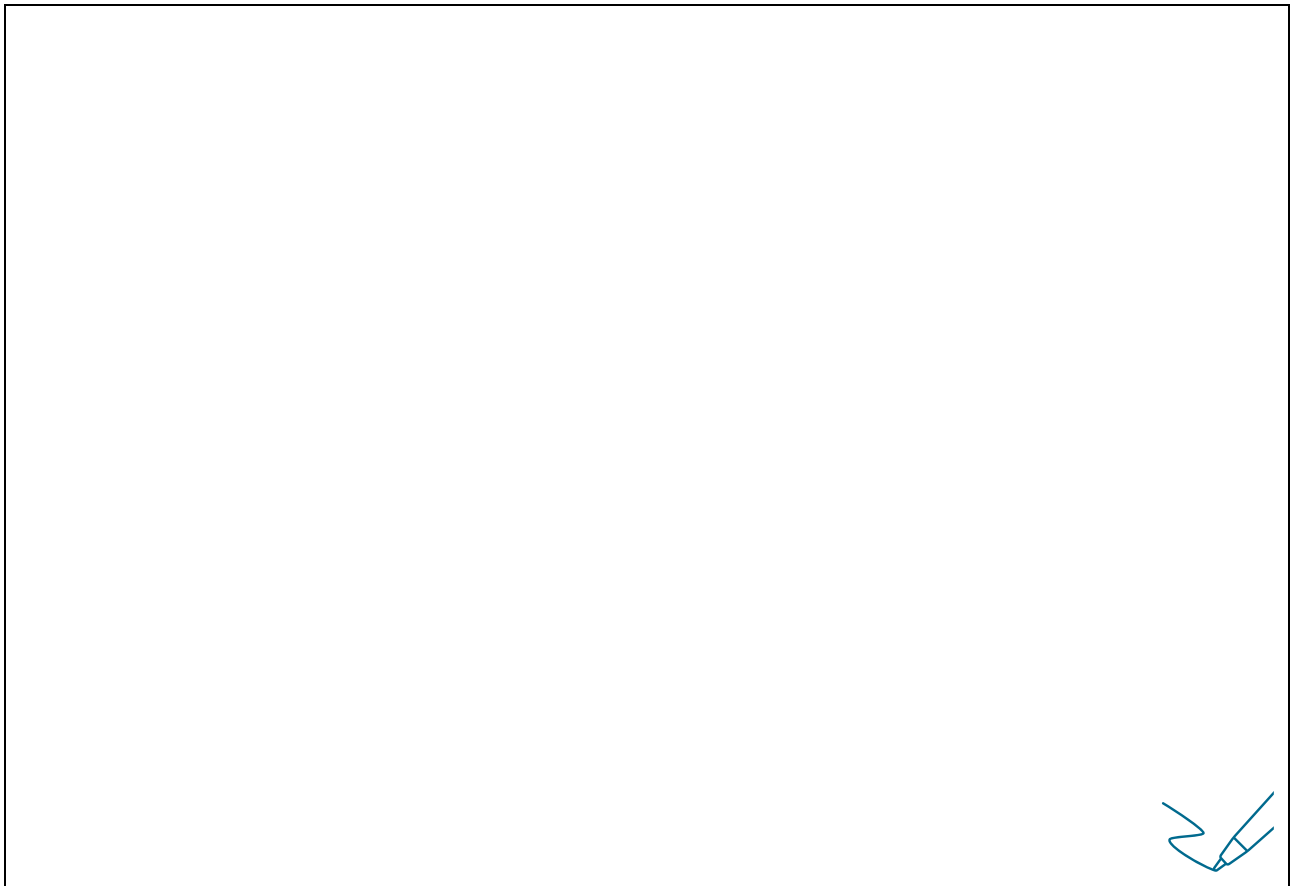
oziroma zavore, lahko skladno s sliko 13 določimo tudi vztrajnostni moment testnega motorja J_s . [7]

4.2 Besedilo naloge

V sklopu vaje izmerite karakteristiko navora trenja testnega motorja in zavore (bremena) ter na osnovi iztečnega preizkusa določite skupni vztrajnostni moment pogona J . Pri tem določite vse potrebne parametre mehanskega podsistema električnega pogona. Določene parametre uporabite za izvedbo dinamičnega modela v sklopu računalniških vaj. V okviru vaje izmerite:

- a) karakteristiko navora trenja testnega motorja.
- b) karakteristiko navora trenja testnega zavore.
- c) grafično določite Coulombovo trenje T_C in koeficient viskoznega trenja f .
- d) na osnovi iztečnega preizkusa določite vztrajnostni moment pogona J (motor + zavora) in izračunajte vztrajnostni moment testnega motorja J_s .

Vežalni načrt:



Popis merilne opreme:



Nazivni podatki testnega motorja:



Nazivni podatki aktivne zavore:



4.3 Rezultati

a) Karakteristika navora trenja testnega motorja:

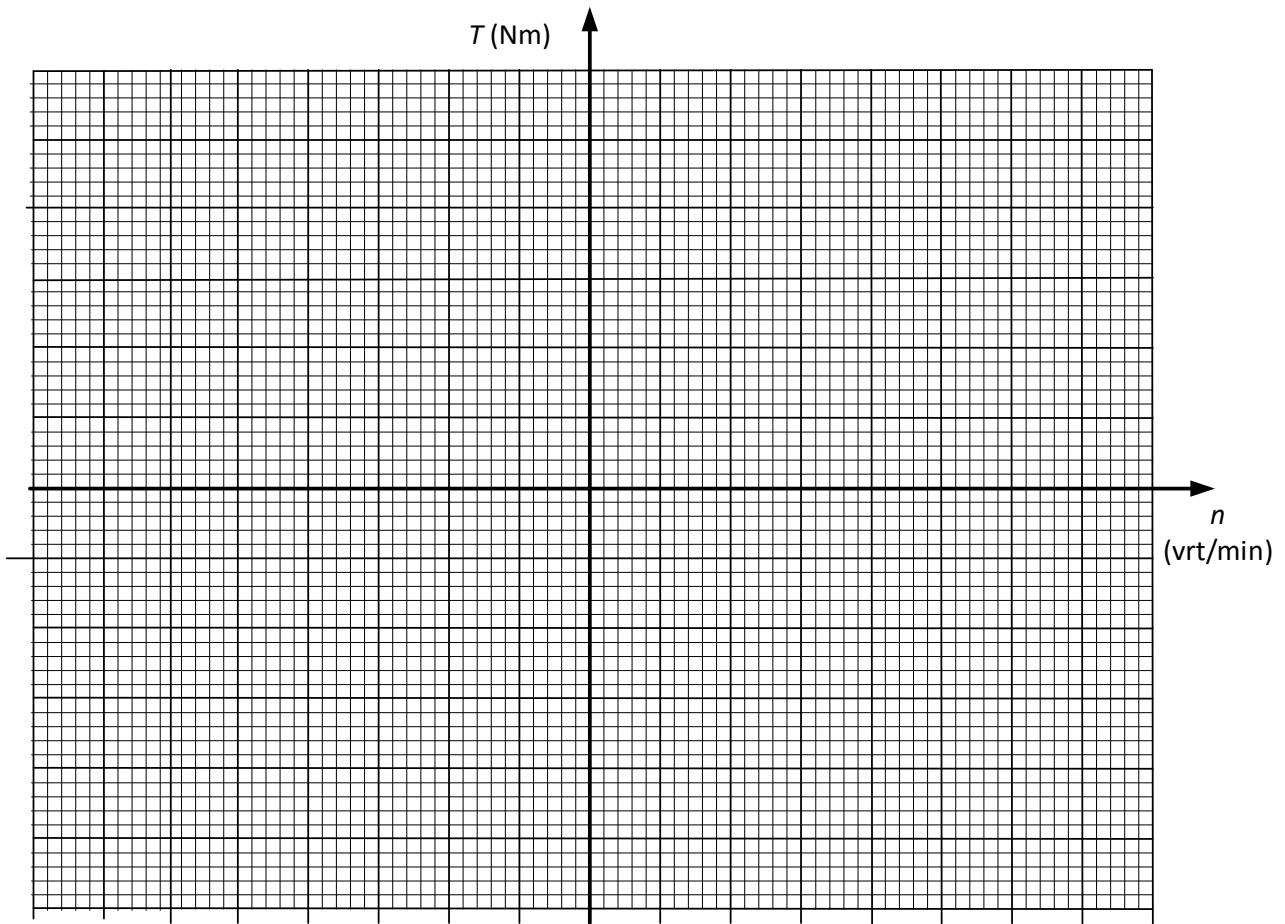
Tabela 101: Rezultati meritev – testni motor

$n_{žel}$ [vrt/min] smer desno	n [vrt/min]	T [Nm]	$n_{žel}$ [vrt/min] smer levo	n [vrt/min]	T [Nm]
4000	_____	_____	-4000	_____	_____
3800	_____	_____	-3800	_____	_____
3600	_____	_____	-3600	_____	_____
3400	_____	_____	-3400	_____	_____
3200	_____	_____	-3200	_____	_____
3000	_____	_____	-3000	_____	_____
2800	_____	_____	-2800	_____	_____
2600	_____	_____	-2600	_____	_____
2400	_____	_____	-2400	_____	_____
2200	_____	_____	-2200	_____	_____

2000	_____	_____	-2000	_____	_____
1800	_____	_____	-1800	_____	_____
1600	_____	_____	-1600	_____	_____
1400	_____	_____	-1400	_____	_____
1200	_____	_____	-1200	_____	_____

$n_{žel}$ [vrt/min] smer desno	n [vrt/min]	T [Nm]	$n_{žel}$ [vrt/min] smer levo	n [vrt/min]	T [Nm]
-----------------------------------	---------------	----------	----------------------------------	---------------	----------

1000	_____	_____	-1000	_____	_____
800	_____	_____	-800	_____	_____
600	_____	_____	-600	_____	_____
400	_____	_____	-400	_____	_____
300	_____	_____	-300	_____	_____
200	_____	_____	-200	_____	_____
150	_____	_____	-150	_____	_____
100	_____	_____	-100	_____	_____
50	_____	_____	-50	_____	_____



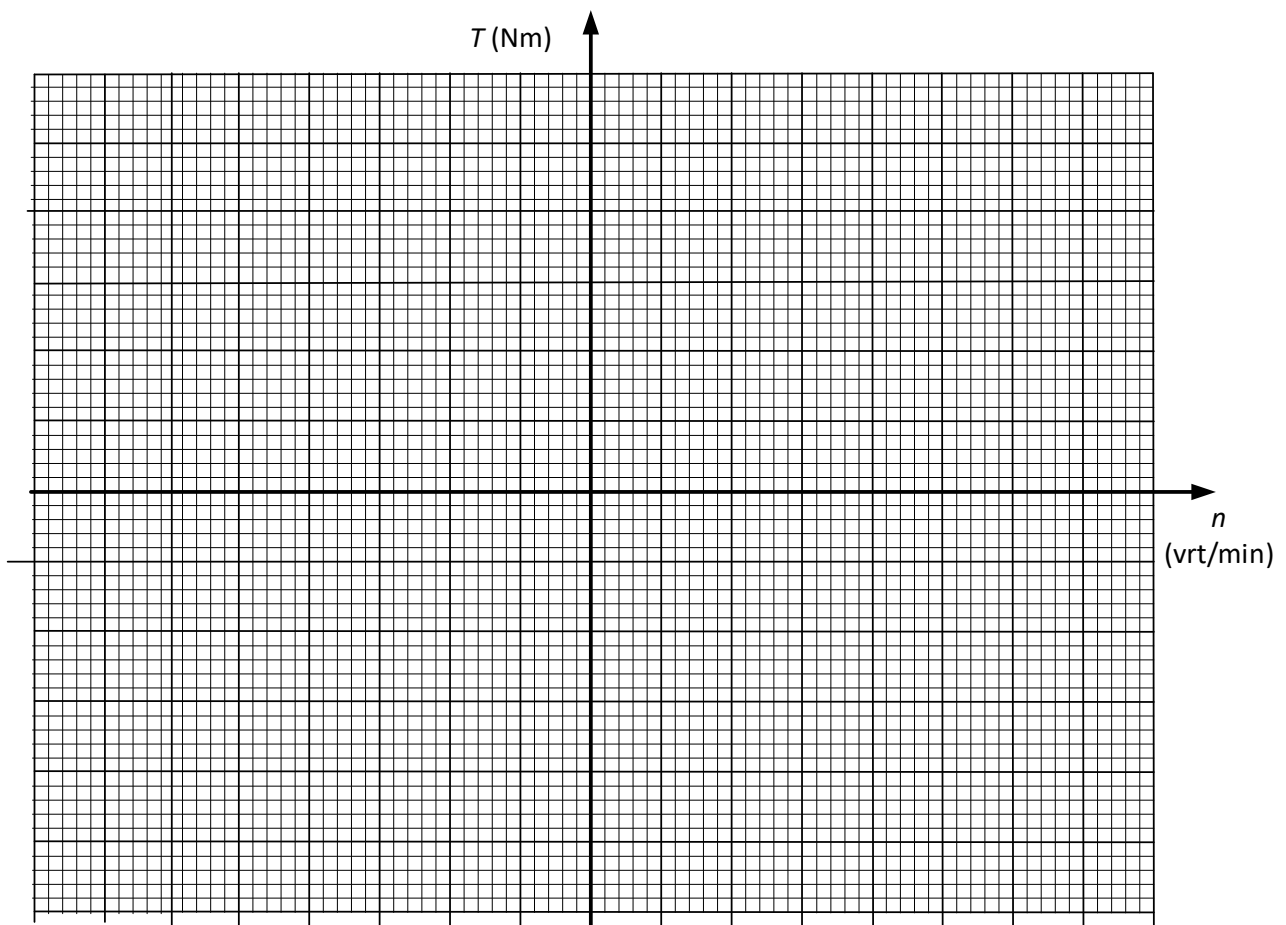
Graf 2: Karakteristika navora trenja – testni motor.

b) Karakteristika navora trenja zavore:

Tabela 2: Rezultati meritev – zavora

n_{zel} [vrt/min] smer desno	n [vrt/min]	T [Nm]	n_{zel} [vrt/min] smer levo	n [vrt/min]	T [Nm]
4000	_____	_____	-4000	_____	_____
3800	_____	_____	-3800	_____	_____
3600	_____	_____	-3600	_____	_____
3400	_____	_____	-3400	_____	_____
3200	_____	_____	-3200	_____	_____
3000	_____	_____	-3000	_____	_____
2800	_____	_____	-2800	_____	_____
2600	_____	_____	-2600	_____	_____
2400	_____	_____	-2400	_____	_____
2200	_____	_____	-2200	_____	_____
2000	_____	_____	-2000	_____	_____
1800	_____	_____	-1800	_____	_____
1600	_____	_____	-1600	_____	_____
1400	_____	_____	-1400	_____	_____
1200	_____	_____	-1200	_____	_____

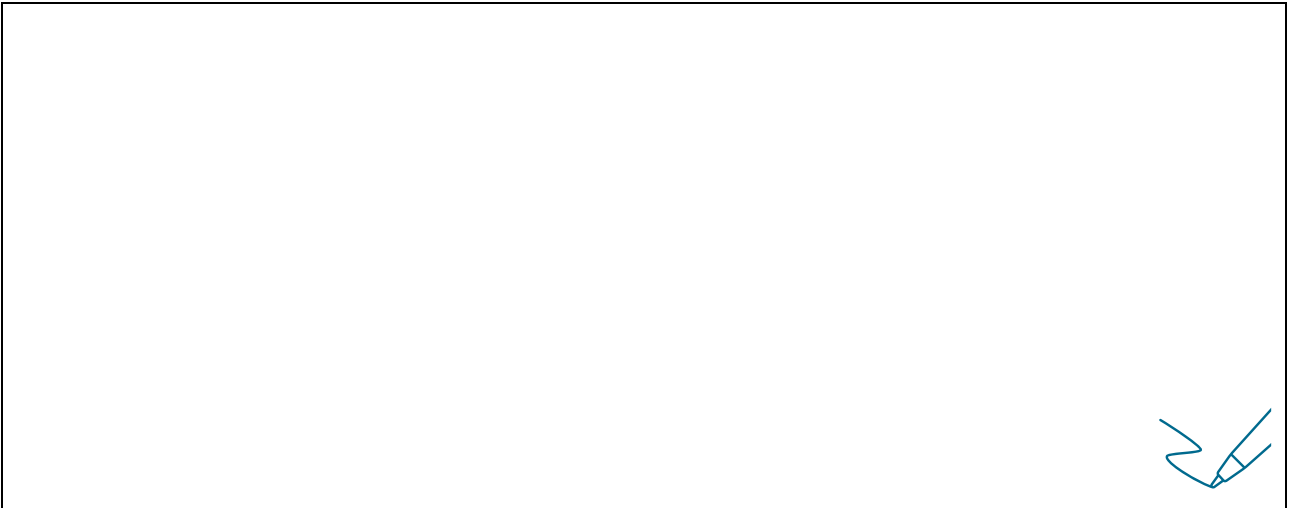
n_{zel} [vrt/min] smer desno	n [vrt/min]	T [Nm]	n_{zel} [vrt/min] smer levo	n [vrt/min]	T [Nm]
1000	_____	_____	-1000	_____	_____
800	_____	_____	-800	_____	_____
600	_____	_____	-600	_____	_____
400	_____	_____	-400	_____	_____
300	_____	_____	-300	_____	_____
200	_____	_____	-200	_____	_____
150	_____	_____	-150	_____	_____
100	_____	_____	-100	_____	_____
50	_____	_____	-50	_____	_____



Graf 3: Karakteristika navora trenja – zavora.

c) Določitev Coulombovega trenja T_C in koeficient viskozne trenja f .

Testni motor ($T_{C,m}, f_m$):



Zavora ($T_{C,z}, f_z$):

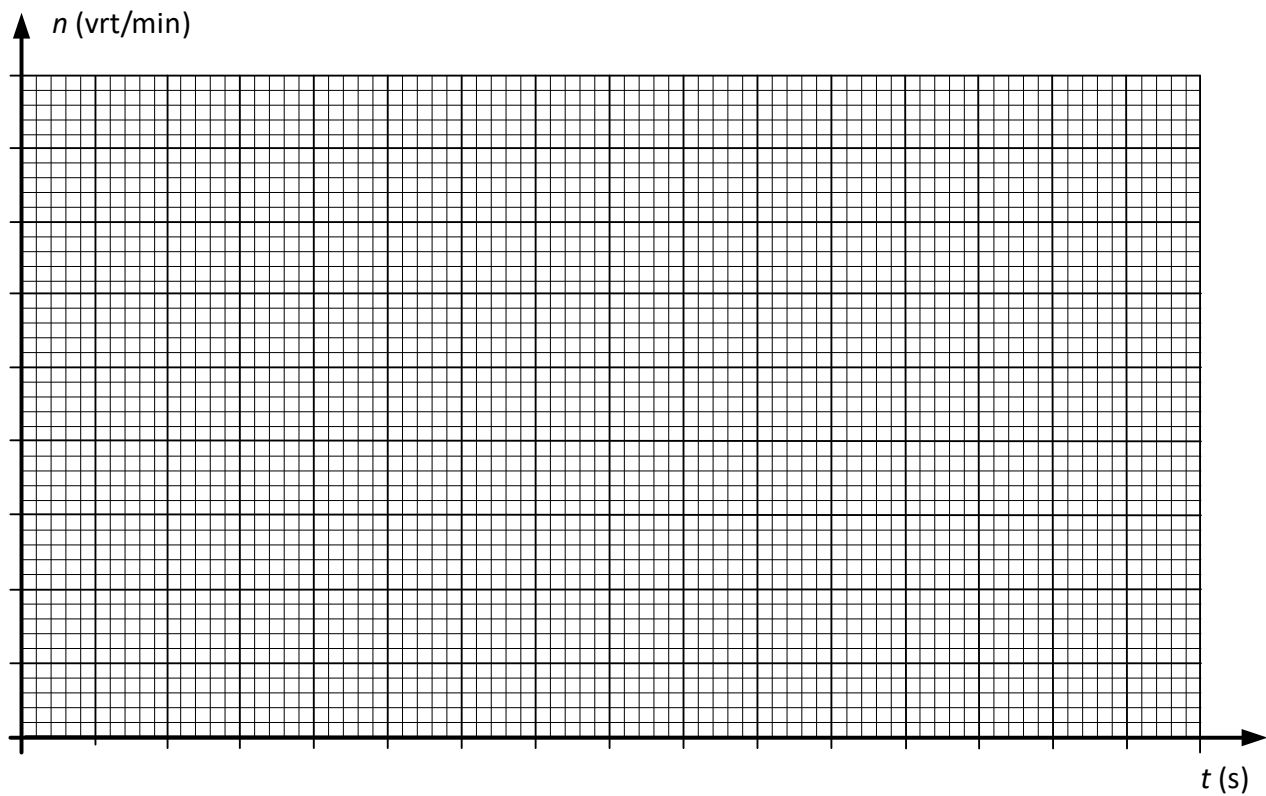


Določitev T_C in f celotnega pogona:




t [s]	n [vrt/min]	t [s]	n [vrt/min]	t [s]	n [vrt/min]
---------	---------------	---------	---------------	---------	---------------

_____	_____	_____	_____	_____	_____
_____	_____	_____	_____	_____	_____



Graf 4: Iztečni preizkus.

Določitev vztrajnostnega momenta pogona J (motor + zavora) ter izračun vztrajnostnega momenta testnega motorja J_s :



4.5 Komentar

(kratek komentar vaje, povzetek, temeljne ugotovitve ...)



Zapišite v obliki komentarja odgovore na naslednja vprašanja:

Na kratko pojasnite določitev vztrajnostnega momenta testnega motorja.

V sklopu računalniških vaj izdelajte poročilo izvedenih meritev ter preverite, kako se odziv dinamičnega modela ujema z rezultati meritev (iztečni preizkus).

Literatura

- [1] B. Zupančič, *Modeliranje in obdelava signalov*, Univerza v Ljubljani, Fakulteta za elektrotehniko, Ljubljana, 2011.
- [2] B. Zupančič, *Vodenje sistemov*, Univerza v Ljubljani, Fakulteta za elektrotehniko, Ljubljana.
- [3] R. Karba, *Modeliranje procesov*, Univerza v Ljubljani, Fakulteta za elektrotehniko, Ljubljana, 1999.
- [4] I. Humar, S. Simović, A. R. Sinigoj, Z. Žalar, R. Logonder, B. Vučko, E. Bulić, *E-učbenik eELEplus*, Univerza v Ljubljani, Fakulteta za elektrotehniko, Ljubljana, 2018. ISBN 978-961-6999-08-3. Dostopno na: <http://eele.fe.uni-lj.si/>
- [5] Spletno gradivo dostopno na: <http://lmse.fe.uni-lj.si/amon/literatura/EK/EK5-Tuljave.pdf> [5.4.2022].
- [6] M. Blaznik, *Magnetno nelinearni dinamični model enosmernega motorja s serijskim vzbujanjem: Diplomsko delo*. Univerza v Mariboru, Fakulteta za elektrotehniko, računalništvo in informatiko. Maribor, 2010.
- [7] D. Makuc, *Splošna teorija električnih strojev s preizkušanjem: Laboratorijske vaje*, Univerza v Ljubljani, Fakulteta za elektrotehniko. Ljubljana, 2011.
- [8] D. Dolinar, G. Štumberger, *Modeliranje in vodenje elektromehanskih sistemov*, Univerza v Mariboru, Fakulteta za elektrotehniko, računalništvo in informatiko. Maribor, 2006.

TEHNOLOŠKO MODELIRANJE

ENERGETSKIH PROCESOV:

ZBIRKA LABORATORIJSKIH VAJ

IZTOK BRINOVAR, DALIBOR IGREC

Univerza v Mariboru, Fakulteta za energetiko, Krško, Slovenija
iztok.brinovar@um.si, dalibor.igrec@guest.um.si

Povzetek Zbirka laboratorijskih vaj je primarno namenjena študentom 1.letnika magistrskega študijskega programa na Fakulteti za energetiko Univerze v Mariboru, in sicer kot dodatno učno gradivo pri izvajanju laboratorijskih vaj v okviru učne enote Tehnološko modeliranje energetskih procesov. Kot taka se tudi direktno vsebinsko navezuje na pripadajoče računalniške vaje. Vaje so namenjene eksperimentiranju z različnimi sistemi oz. procesi, modeliranju in vrednotenju matematičnih modelov. Študentje na takšen način izboljšajo poznavanje in razumevanje mehanizmov delovanja obravnavanih procesov ter skozi praktično delo spoznajo celoten ciklični postopek modeliranja, ki vključuje izvedbo meritev, kot tudi izdelavo in uporabo matematičnih modelov. Zbirka laboratorijskih vaj v povezavi z računalniškimi vajami in predavanji povezuje obravnavano tematiko v zaključeno celoto.

Ključne besede:
laboratory exercises,
measurements,
modelling,
dynamic systems,
electromechanical
systems



Univerza v Mariboru

Fakulteta za energetiko